


Research Paper

Assessment of the Arrowhead Impact on Armor Using the Finite Element Method (FEM): A Case Study of Iron Age II and III Arrowheads from the Qareh Tepe Segzabad Cemetery

Soroush Jalili¹, Mostafa Dehpahlavan^{2*} 

¹ Master's Graduate student in Archaeology, University of Tehran, Tehran, Iran.

² Associate Professor, Department of Archaeology, Faculty of Literature and Humanities, University of Tehran, Tehran, Iran.

* Correspondence: mdehpahlavan@ut.ac.ir



Abstract

Upon the arrival of the first millennium BCE and the growing prominence of archery in the armies of the Near East, the number of arrowheads discovered in Iron Age cemeteries, settlements, and fortifications in the western Iranian Plateau and adjacent areas increased. Alongside this increase, diverse and sometimes novel forms, such as socketed trilobate arrowheads, appeared in the region, which cannot be considered a normal characteristic for a highly consumed weapon like the arrow. The reason for this diversification can provide significant insights into weapon engineering and design capabilities during this period. Therefore, using the Abaqus simulation software based on the Finite Element Method, an experiment was designed to reconstruct the performance of the weapons of that period under various conditions. To this end, three distinctive bronze arrowhead types from the findings of the 2015 and 2016 excavations at the East Cemetery of Qareh Tepe Segzabad, and one type from the findings at Persepolis, were selected. A total of 16 simulated firings against two common defensive coverings of this period—scale armor and linen armor—were studied. The selected types were tested at distances of 7.5, 15, and 30 meters across two different terminal velocity ranges from angular bows (63.2–74.2 m/s) and B-shaped bows (64.3–75.4 m/s). Based on the results, by considering perforation ability as the criterion for assessing the arrowheads in the simulated conditions, the geometric properties of the arrowheads and the mechanical properties of the armor were the determining factors. Thus, only the arrowhead tipped with a pyramidal blade (Badkin) recorded the best efficiency in the perforation process due to its unique form. The other three samples successfully completed the process against linen armor, creating perforations with an area greater than 30 mm², but none posed a serious threat to a soldier equipped with scale armor. It appears from the statistical sample of the selected arrowheads that the small quantity of the pyramidal type compared to the other three, despite its suitable performance against armored targets, likely indicates a lower number of armored soldiers and targets relative to unarmored forces in the armies of the region, at least until the 6th century BCE.

Keywords: Bronze Arrowhead, Finite Element Method (FEM), Armor, Iron Age, Impact Mechanics.

Introduction

From design to production, technological determinism plays a key role in introducing manufacturing techniques to enhance performance (Ray, 2010). This study examines arrowhead design and performance as indicators of this determinism, addressing

their quantitative significance in archaeological findings. A growing diversity of arrowheads, unusual for mass-produced weapons, demands further engineering analysis beyond typological and chronological studies (Hellmuth, 2014; Erdmann, 1973; Cleuziou, 1973; Мелюкова, 1964). While Philip Blyth's 1977 research

Received: 2024/1/4

Revised: 2024/12/28

Accepted: 2025/1/2

Published: 2025/6/30

Copyright: ©2025 by the Authors. This article is an open access article distributed under the terms and conditions of the Creative Commons Attribution Noncommercial 4.0 International (CC BY-NC 4.0 license)

<https://creativecommons.org/licenses/by-nc/4.0>



analyzed Greco-Persian war armor and weapons, and Aldrete's 2013 team reconstructed linen armor (linothorax), these studies overlooked arrowhead geometry's role in impacting and penetrating armor. This research focuses on addressing this gap.

Methods and weaponry of the research

Method

This study uses FEM simulations under controlled, non-realistic conditions to analyze complex physical interactions. ABAQUS software was selected for its precision in calculating forces, stress, and strain during impacts. Simulations modeled close combat, measuring the time interval from impact to motion stoppage.

Weaponry

Arrowheads were selected based on typology, chronology, and archaeological context to ensure test reliability. Four types were analyzed: Tanged Pyramidal (B), Tanged Bilobate with leaf-shaped blade (L), Bilobate with rhombus blade (R), and Socketed Trilobate (T). Arrowheads B and L were linked to Iron Age II burials (Dehpahlavan, 1395), while T was associated with Iron Age III (Dehpahlavan, 1398) (Figure 1). Effectiveness was tested against scale armor (S.A.) and linen armor (L.A.), commonly used in the ancient Near East (Aldrete et al., 2013) (Figure 3).

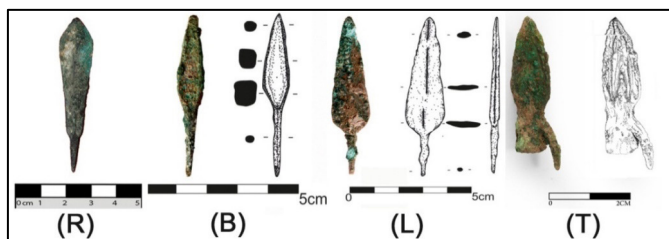


Figure 1. Tested arrowheads: (B). Tipped with pyramidal blade (Badkin), (L). Double-edge tipped with a leaf-shaped blade, (T). Trilobate socket with thorns on the socket, (R). Tipped with two edges with rhombic blade form.

The software inputs related to the bow are kinetic energy and initial speed. The choice of angular and B-shaped bows is based on archaeological validity and research (Zutterman, 2003). An angular bow of approximately 150 cm in length generates an initial kinetic energy of about 40.9 J (Bergman, 1988), while the B-shaped bow ranges between 18 and 36 J (Blyth, 1977).

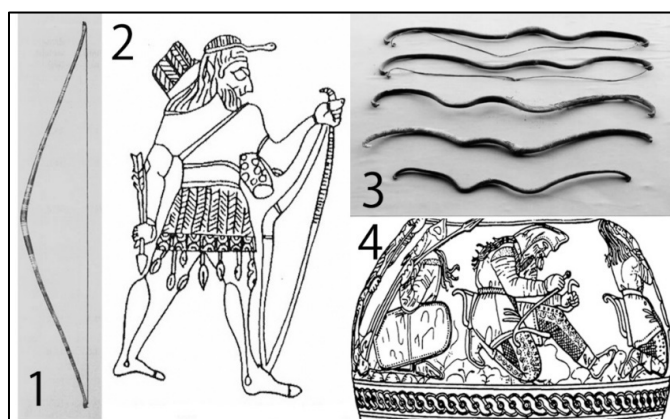


Figure 2. Selected bows for simulation: 1- reconstructed angular bow (Bergman et al, 1988) 2- Archer depicted holding an angular on a Hasanlu gold bowl (Winter, 1989) 3- B-shaped bows found in Yanghai cemetery in China (Selby, 2005) 4- Scythian archer loading his B-shaped bow with an arrow depicted on the gold Kul oba bowl (Roll, 1989).

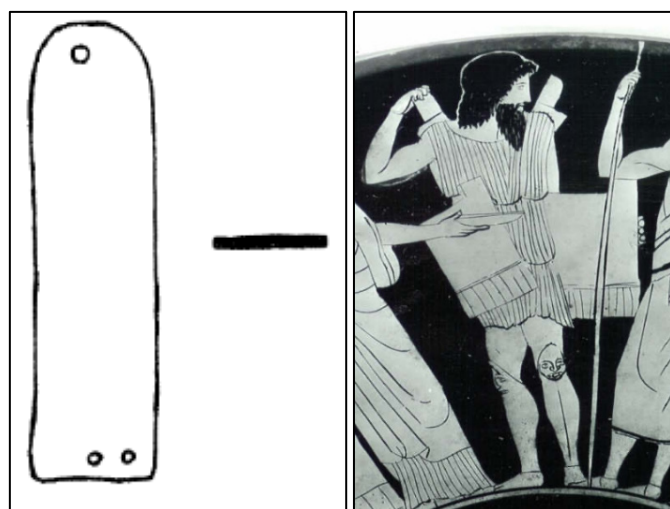


Figure 3. Left: a bronze scale plate of the scale armor (S.A) (Stronach, 1958); Right: wearing a linen armor, painting on an Attic vase (Aldrete et al, 2013)

Modeling

The arrowheads were initially designed in CATIA's environment (Sketch). Once this step was completed, the designs were input into ABAQUS software. Due to the geometry and bulkiness of the samples, the free meshing method and the pyramidal tetrahedral species (C3D4) of the Tet family components were used to achieve better results (Figures 4 & 5).

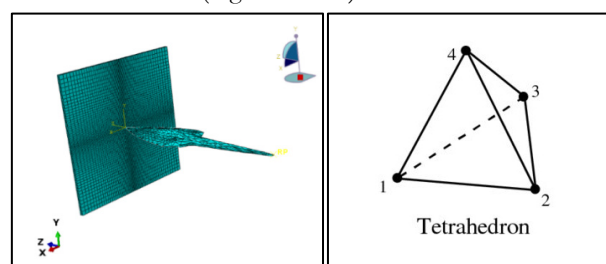


Figure 4. Right: The element of the pyramidal quadrilateral type (C3D4), Left: The sample of the mesh-free model of the impact process in Abaqus software

Downloaded from jra-tabriziau.ir at 21:56 +0330 on Monday May 18th 2026 [DOI: 10.61882/jra.2025.11.101]

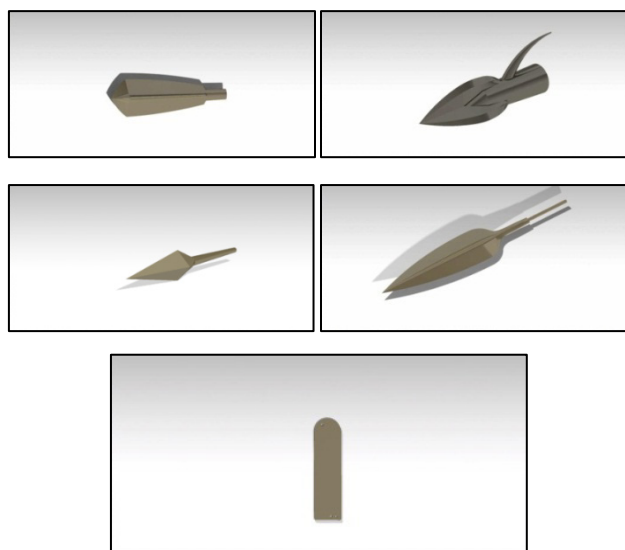


Figure 5. Simulated weapons in Abaqus software.

Material properties (bronze, leather, linen) were entered into the software, and four simulations were conducted per arrow: angled bow against scale and linen armor (A.B-S.A., A.B-L.A.), and B-shaped bow against the same targets (B.B-S.A., B.B-L.A.). The main results are summarized in Table 1.

Results and Discussion

The effectiveness and performance of arrowheads

The impact process involves simultaneous deformation of armor and projectile, transitioning from elastic to plastic states, characterized by the von Mises stress criterion and Johnson-Cook's ductility formula (Johnson & Cook, 1985). Most armor and arrowheads transitioned to plastic deformation, except model B (A.B-L.A., B.B-L.A.) and model L (A.B-L.A.). Maximum plastic deformation occurred in the A.B-S.A. mode, with 14.5 mm for armor and 13 mm tip bending for the L model. Failure modes observed include plugging (Borvik et al., 2001), petaling (Wierzbicki, 1999), and perforation (Dean et al., 2009). Model T exhibited the most failures, losing its tip under $+4.159 \times 10^2$ MPa stress. Only model R in B.B-S.A. did not fail. Detailed stress results are provided in Figures 6 through 9.

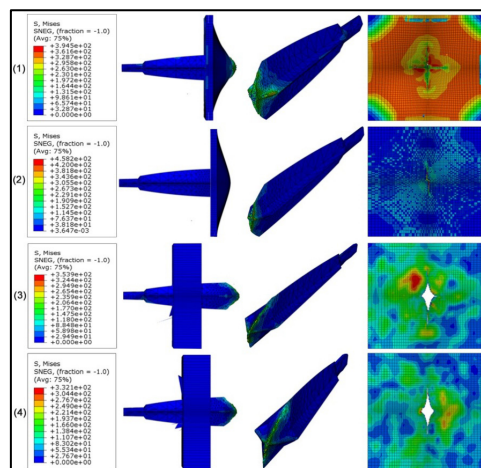


Figure 6. The stress charts of model R at the impact in: (1) A.B-S.A state, (2) B.B-S.A state, (3) A.B-L.A state, (4) B.B-L.A state

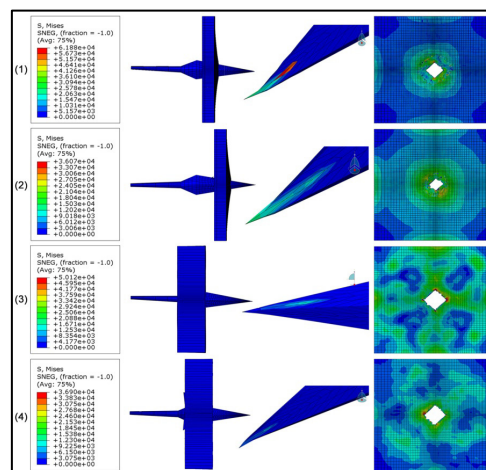


Figure 7. The stress charts of model B at the impact in: (1) A.B-S.A state, (2) B.B-S.A state, (3) A.B-L.A state, (4) B.B-L.A state.

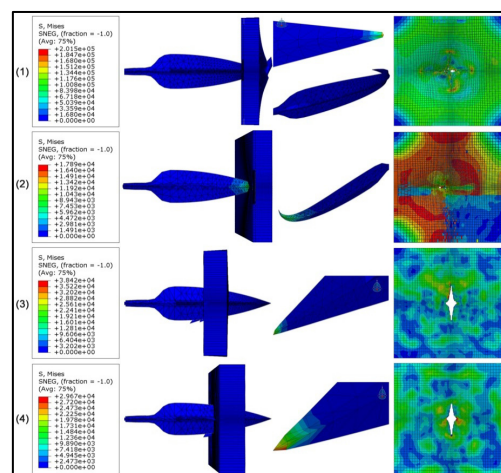


Figure 8. The stress charts of model L at the impact in (1) A.B-S.A state, (2) B.B-S.A state, (3) A.B-L.A state, (4) B.B-L.A state.

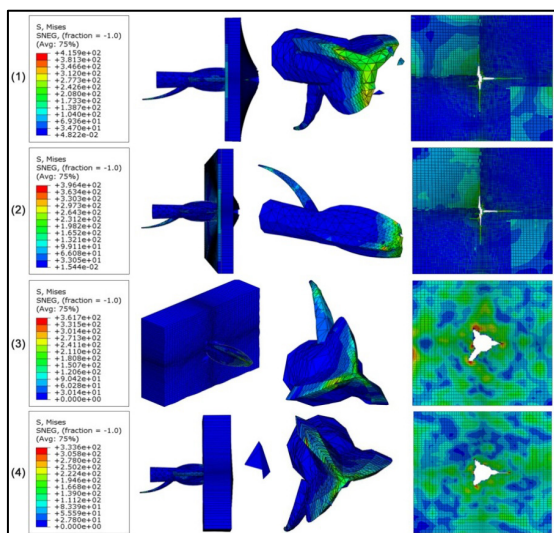


Figure 9. The stress charts of model T at the impact in (1) A.B-S-A state, (2) B.B-S-A state, (3) A.B-L-A state, (4) B.B-L-A state.

Table 1. Results and simulation time for each arrowhead

Simulation Time /Penetration Results								
	T	L		B		R		States
462 min	12.7 6 mm	352 min	13.1 mm	453 min	22.79 mm	355 min	14.5 mm	A.B-S-A
350 min	17.4 mm	344 min	Complete pas- sage	283 min	Complete pas- sage	331 min	Complete pas- sage	A.B-L-A
355 min	12.6 6 mm	359 min	10.8 3 mm	479 min	17.74 mm	350 min	9.52 mm	B.B-S-A
232 min	12.1 mm	279 min	Complete pas- sage	230 min	Complete pas- sage	345 min	Complete pas- sage	B.B-L-A

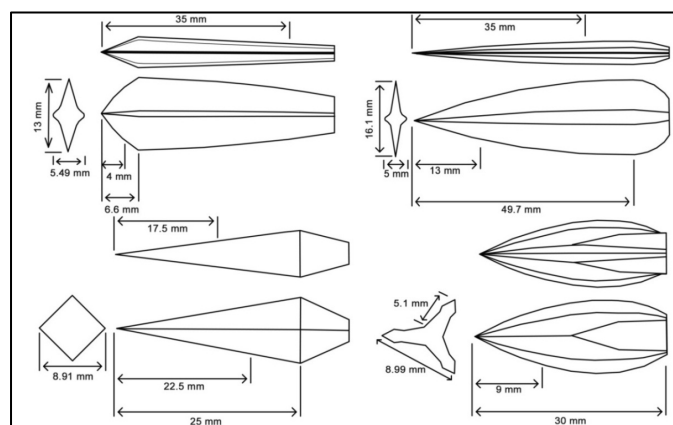


Figure 10. Geometrical properties of models

Scale armor resisted perforation from R, L, and T arrowheads, whereas linen armor failed under all conditions, reaching its stress limit (+5.012e+04 to +3.321e+02 MPa). Factors affecting ballistic limits include absorbed energy, velocity loss, projectile tip geometry, and target thickness (Gupta et al., 2006; Tan et al., 2003; Borvik et al., 2002). Scale armor absorbed 90.8% of energy

and 78.5% of velocity, compared to linen armor's 32.05% and 35%. Linen armor, despite greater thickness, proved more vulnerable, with over 35 mm perforation area per arrowhead. Model B performed best, successfully perforating armor in all modes. Tables 2 visualize energy absorption trends. Table 3 and Figure 10 also show the geometrical properties of projectiles during the impact.

Table 2. The calculated amounts of velocity and energy absorbed by models

	$v_i(M/S)$	v_r	v_{bl}	$E_a(J)$
R_{AB-S-A}	63.7	25.8 - 14.1	37.9 - 49.6	30.7 - 35.1
B_{AB-S-A}	65	20.6 - 11.3	44.4 - 53.7	32.2 - 34.77
L_{AB-S-A}	61	37.2 - 29.2	23.8 - 31.8	23.4 - 28.7
T_{AB-S-A}	70	35 - 17.1	35 - 52.9	27.1 - 33.8
R_{BB-S-A}	54.3	28.5	25.8	20.1
B_{BB-S-A}	56	16.09 - 8	39.91 - 48	25.3 - 27
L_{BB-S-A}	52.8	32.8	20	18
T_{BB-S-A}	61	35 - 27	26 - 34	18.3 - 21.9
R_{AB-L-A}	63.7	58.3	5.4	5
B_{AB-L-A}	65	29.1	35.9	28.7
L_{AB-L-A}	61	60	1	1.2
T_{AB-L-A}	70	58.3	11.7	11.3
R_{BB-L-A}	54.3	50	4.3	4.2
B_{BB-L-A}	56	28.3	27.7	20.7
L_{BB-L-A}	52.8	50	2.8	3.5
T_{BB-L-A}	61	48.3	12.7	10.2

Table 3. Geometrical properties of models

Models	Maximum cross-sectional area(mm ²)	A.B-S.A & B.B-S.A States		A.B-L.A & B.B-L.A States	
		In the action c.s area(mm ²)	Tip length involved(mm)	In the action c.s area	Tip length involved
R	≤35.9	≤13.5	4	≤35.9-8.7	35
B	39.6	1.12-30.5	22.5	16.8	17.5
L	≤40.2	≤2.7	13	≤4.9	35
T	≤38.3	≤19.1	9	≤28.2	30

Depth of penetration and lethal damage

When evaluating the impact of an arrow that causes serious injury or death, it passes through four key layers: armor, the deformation of the armor, clothing or coverings underneath the armor, and finally, the skin. According to Bleetman and Dyet's research, the thickness of the skin and its distance from critical organs, such as the spleen, liver, kidneys, and lungs, are different; the average minimum thickness is 16 mm, while the maximum is 31 mm (Bleetman & Dyet, 2000).

Penetration depth estimates for serious injury are 28.2 mm for scale armor and 29 mm for linen armor. Model B achieved 22.79 mm penetration in scale armor but exceeded 40.1 mm in

linen armor, highlighting linen armor's limitations. Scale armor demonstrated superior defense against injury.

Conclusion

Type B arrowheads outperformed others, demonstrating the influence of geometry on efficiency. However, archaeological evidence suggests a heterogeneous relationship between technological determinism and arrowhead success. Despite inferior performance, types R, L, and T are more prevalent in findings, suggesting limited effectiveness against armored armies. Arrowheads likely served other purposes, such as hunting or targeting light infantry. Scale armor's rarity before the 6th century BC supports this hypothesis, as equipping fully armored armies was expensive. Lighter weaponry appears to have been more common, corroborated by the scarcity of armor artifacts. The presented tables and figures further validate these conclusions.

Author Contributions: All authors contributed to the preparation and writing of the manuscript.

Funding: This research did not receive any specific grant from funding agencies in the public, commercial, or not-for-profit sectors.

Data Availability Statement: The raw data supporting the conclusions of this article will be made available by the authors upon reasonable request.

Acknowledgments: The authors would like to express their sincere appreciation to the Department of Mechanical Engineering at the University of Tehran, particularly Dr. Alireza Daneshmehr and his students, for performing the simulation process and for their assistance during various stages of data analysis.

Conflicts of Interest: The authors declare that they have no known competing financial interests or personal relationships that could have appeared to influence the work reported in this paper.

سنجش فرآیند برخورد سرپیکان به زره با روش (FEM) اجزاء محدود مطالعه موردی: سرپیکان‌های عصر آهن II و III گورستان قره تپه سگزآباد

سروش جلیلی^۱، مصطفی ده پهلوان^{۲*}

۱. دانش آموخته کارشناسی ارشد باستان‌شناسی دانشگاه تهران، تهران، ایران.

۲. دانشیار، گروه باستان‌شناسی، دانشکده ادبیات و علوم انسانی، دانشگاه تهران، تهران، ایران.

* مسئول مکاتبات: mdehpahlavan@ut.ac.ir

چکیده

با ورود به هزاره نخست پ.م و پررنگ‌تر شدن کمانداری در ارتش‌های خاور نزدیک، شمار سرپیکان‌های کشف‌شده در گورستان‌ها، استقرارگاه‌ها و استحکامات عصر آهنی در غرب فلات ایران و مناطق همجوار افزایش یافت. در کنار این افزایش، فرم‌های گوناگون و گاهاً نوظهور همچون سه پره سوکتی در منطقه پدیدار می‌شوند که نمی‌تواند برای سلاح پرمصرفی چون تیر ویژگی عادی تلقی شود، و چرایی آن می‌تواند درک مهمی از قابلیت‌های مهندسی و طراحی جنگ افزار در این دوره را در اختیار قرار دهد. از این‌رو با استفاده از نرم افزار شبیه سازی آباکوس بر پایه روش اجزاء محدود، آزمونی طراحی شد که بازسازی عملکرد سلاح‌های آن دوره را در شرایط گوناگون امکان‌پذیر می‌سازد. بدین منظور سه گونه شاخص سرپیکان برنزی از یافته‌های کاوش‌های ۱۳۹۵ و ۱۳۹۶ گورستان شرقی قره تپه سگزآباد، و یک گونه نیز از یافته‌های تخت جمشید انتخاب شدند. در مجموع ۱۶ تیراندازی شبیه‌سازی شده به دو پوشش دفاعی مرسوم در این دوره، زره پولکی و کتانی در دو بازه سرعت نهایی متفاوت از کمان‌های زاویه‌دار (۷۴/۲ - ۶۳/۲ m/s) و B شکل (۶۴/۳ تا ۵۴/۷ m/s) در فواصل ۷/۵، ۱۵ و ۳۰ متری گونه‌های منتخب مورد مطالعه قرار گرفتند. براساس نتایج، با در نظر گرفتن توانایی سوراخ‌سازی به عنوان معیار سنجش سرپیکان در شرایط شبیه‌سازی، خواص هندسی سرپیکان و خواص مکانیکی زره، عوامل تعیین‌کننده بودند. به این ترتیب تنها سرپیکان زبانه‌دار با تیغه هرمی به واسطه فرم خاص خود توانست در فرآیند سوراخ‌سازی، بهترین بازده را ثبت کند. سه نمونه دیگر در مقابل زره کتانی موفق به تکمیل فرآیند شدند و سوراخ‌هایی با مساحت بیش از ۳۰۲ mm^۲ ایجاد کردند، اما هیچ یک تهدیدی جدی برای سرباز مجهز به زره پولکی به حساب نمی‌آمدند. از جامعه آماری سرپیکان‌های انتخابی چنین بر می‌آید که کمیت اندک گونه هرمی در مقابل سه گونه دیگر، علارغم عملکرد مناسب در برابر اهداف زرهی، احتمالاً می‌تواند بیانگر کم بودن سربازان و اهداف زرهی نسبت به نیروهای غیر زرهی در ارتش‌های منطقه، حداقل تا قرن ۶ پ.م باشد.

واژگان کلیدی: سرپیکان برنزی، اجزاء محدود، زره، عصر آهن، مکانیک برخورد.

۱. مقدمه

عملکرد آنها، می‌تواند در تفسیر و بازسازی نظام‌های جنگی، تاکتیک‌ها و ماهیت وجودی آثار در بافت باستان‌شناسی بسیار مفید و کارآمد باشد. این رویکرد با عنوان جبرگرایی تکنولوژیکی (Technological determinism) مطرح می‌شود. جبرگرایی به این مفهوم که ابداع یک سلاح نوین بی‌تردید

بررسی تخصصی سلاح و نظام حاکم بر طراحی و تولید آن در دوران باستان، با تمرکز بر آنالیزهای گونه‌شناسانه، مقایسه‌ای و بررسی جزئیات در



Check for updates

دریافت: ۱۴۰۲/۱۰/۱۴
آخرین اصلاح: ۱۴۰۳/۱۰/۸
پذیرش: ۱۴۰۳/۱۰/۱۳
انتشار: ۱۴۰۴/۴/۹

Copyright: ©2025 by the Authors. This article is an open access article distributed under the terms and conditions of the Creative Commons Attribution Noncommercial 4.0 International (CC BY-NC 4.0 license)

<https://creativecommons.org/licenses/by-nc/4.0>



توانایی‌های جدیدی برای کاربر به همراه داشته و طراح و صنعتگر نیز از تکنیک‌های روزآمد تولید بهره می‌گرفته‌اند. اصلی‌ترین معیار ارتباط سلاح و تاکتیک، برتری جویی است (Ray, 2010). منطقه خاور نزدیک باستان از اواخر هزاره دوم تا نیمه هزاره نخست پ.م. آستان تحولات و تغییرات بسیاری در حیطه فرهنگ و مهندسی جنگ و جنگ‌افزارسازی بود. شناخت سرپیکان‌های فلزی که از آغاز هزاره دوم پ.م. (قرن ۱۸) در مناطق آسیای صغیر، لولنت و سوریه و پس از آن، از حدود قرن ۱۳ پ.م. در حوزه‌های مرکزی، شمال، شمال غرب و غرب فلات ایران شاهد رونق‌شان در میان گورآورددها هستیم (Medvedskaya, 1982) می‌توانند از دو جنبه دارای اهمیت باشد: نخست، داده‌های مرجع این پژوهش از میان یافته‌های قره تپه سگزآباد، یکی از محوطه‌های شاخص عصر آهن شمال فلات مرکزی ایران انتخاب شده است. اگر چه این ناحیه از درگیری‌های مهم نیمه نخست هزاره اول پ.م. در شمال غرب ایران، بین النهرین و آسیای صغیر دور بوده است و در عین حال وجود حکومت یا خان‌سالاری محلی با ساختار اداری - نظامی متمرکز در این حوزه‌ی فرهنگی - جغرافیایی براساس شواهد موجود مجهول به نظر می‌رسد، ولی یقیناً، این مواد فرهنگی گویای ارتباط با حوزه‌های فرهنگی همجوار (شمال و شمال غرب ایران، لرستان و ایلام) و غیر همجوار (بین النهرین، آسیای صغیر و لوانت) و تأثیرپذیری اقوام مهاجر (سکایی و کیمری) است.

دوم، سرپیکان‌ها در محوطه‌های خاور نزدیک باستان با ورود به هزاره اول پ.م. خارج از بافت تدفین (نوشیجان تپه (Curtis, 1984)، زندان سلیمان (Dyson, 1965)، بسطام (Kroll, 1979)، حسنلو (Thornton & Oates, Stronach, 1958)، نیمرود (Dyson, 1965, II; Pigott, 2011)، لاجیش (Tufnell, 1953)، کارکیش (Woolley, 1921) و نینوا (Curtis, 2003) و محوطه‌های دیگر) دیده شده و رفته رفته تبدیل به نشانه‌هایی جهت شناسایی و شناخت رویدادهایی چون درگیری و نزاع در گاهنگاری محوطه‌ها می‌گردند (Szydy, 2015).

رشد کمی سرپیکان‌ها در میان یافته‌های باستان‌شناسی این منطقه با به قدرت رسیدن امپراتوری‌های فرماندهی مقتدر و حضور اقوام کوچ‌رو اورآسیا و آسیای مرکزی در خاور نزدیک باستان مصادف است. هم سو با افزایش این آثار، شاهد تنوع قابل توجهی در میان آنها هستیم که برای سلاخی مصرفی چون سرپیکان که در کمیت بالا تولید و مورد استفاده بوده عجیب و قابل تأمل است؛ آیا تنوع این سرپیکان‌ها جنبه‌ی برتری جویی و بهبود کارکرد را برای کماندار در مقابل تکنیک‌های دفاعی زمان خود به ارمغان می‌آورده؟ و چقدر این تنوع را می‌توان هم سو با جبرگرایی تکنولوژیکی دانست؟ گوناگونی آثار، موضوع بسیاری از پژوهش‌ها با محوریت گونه‌شناسی، گاهنگاری و بررسی ویژگی‌های قومیتی قرار گرفته است

(Medvedskaya, 1982; Derin & Muscarella, 2001; Hellmuth, 2008, Szydy, 2015) ولی هیچگاه به طور خاص چرایی آن از دید مهندسی مورد مطالعه قرار نگرفته است.

پژوهش‌های تجربی در حیطه‌ی جبرگرایی تکنولوژیکی و مهندسی جنگ در دوران باستان و به طور خاص مقوله‌ی ارزیابی رفتار برخورد سرپیکان به زره، پیشینه‌ی قابل قبولی دارند؛ فیلیپ بلیث (Philip Blyth) در سال ۱۹۷۷ پژوهشی با محوریت مطالعه‌ی جنگ و سنجش روایات تاریخی در دوران هخامنشی را در بستر آزمایشات تجربی با مدل سازی زره‌های یونانی (Cuirass)، کمان پارسی و سکایی و سرپیکان‌های پارسی انجام می‌دهد (Blyth, 1977) که در زمان خود پژوهشی پیشرو به حساب می‌آمد. بلیث با دقت تمام از یافته‌های باستان‌شناسی در کار خود استفاده می‌کند ولی بیشتر تمرکز وی به رفتار زره معطوف شده و در نتیجه‌گیری، تحلیل چندانی از عملکرد پیکان‌ها ارائه نمی‌دهد. پژوهش دیگری در سال ۲۰۰۲ توسط توماس هالیث (Thomas Hulit) با محوریت شناخت عملکرد زره‌های پولکی با تکیه بر آثار نیمه نخست هزاره دوم پ.م. صورت گرفته است (Hulit, 2002). محور این پژوهش نیز تنها شامل معرفی، گونه‌شناسی و بازسازی زره شده و همچنان توجه چندانی به نقش سرپیکان‌ها به عنوان معیار ارزیابی مرغوبیت زره نمی‌شود. پژوهش آخر در سال ۲۰۱۳، توسط گروهی از پژوهشگران دانشگاه جان هاپکینز با سرپرستی گرگوری آلدرت (Gregory Aldrete) با محوریت زره کتانی یا لینوتراکس (Linothorax) صورت می‌گیرد (Aldrete, 2013). متأسفانه علاوه بر بازسازی بی‌نقص زره کتانی، پژوهشگران برای انجام آزمایشات خود در انتخاب سرپیکان‌ها چندان توجهی به شواهد باستان‌شناسی نداشته‌اند. بدین ترتیب فصل مشترک تمامی این مطالعات کمبود تمرکز به نقش سرپیکان و هندسه آن در برخورد و نفوذ به زره بوده است که هدف پژوهش پیش‌رو را شکل می‌دهد. در این پژوهش (FEM) به عنوان ابزاری مفید جهت انجام آزمون انتخاب شده است تا کوچک‌ترین جزئیات در فرآیندهای برخورد و سوراخ‌سازی را در اختیار ما قرار دهد.

۲. روش و ابزار جنگی مورد پژوهش

۲-۱. روش اجزاء محدود

روش معمول در پژوهش‌های تجربی، بازسازی تسلیحات براساس یافته‌ها و توصیفات منابع مکتوب و آرمودنشان در شرایط واقعی است که مطالعات هالیث و آلدرت از این دست هستند. این پژوهش از شبیه‌سازی و مدل سازی در شرایط غیرواقعی بهره گرفته و به نوعی ادامه دهنده و مکمل روش محاسباتی بلیث به حساب می‌آید. (Finite Element Method) یا روش اجزاء محدود، رویکردی نوین برای محاسبه‌ی روابط پیچیده و زمان‌بر

فیزیکی است که در صنایع بسیاری کاربرد داشته و در محیط نرم‌افزارهای متعددی به کار گرفته می‌شود که آباکوس یکی از آنهاست.

محوریت سرپیکان، خصوصیات و رفتار آن در فرآیند برخورد، ملزوم طرح آزمونی است که بتواند شیء را به عنوان ساختاری هندسی مورد بررسی دقیق و ریز بینانه قرار داد. تحلیل نیروهای وارده، تنش و کرنش در طول فرآیند در آزمون‌های معمول تجربی بسیار دشوار و هزینه بر می‌باشد. اجزاء محدود این قابلیت را فراهم می‌آورد که با تقسیم کردن ساختارهای هندسی با هرگونه ویژگی و پیچیدگی‌های خاص خود به اجزائی محدود با خواص ساده تر، محاسبات ریاضی زمانبر را کاهش داده و قابلیت تحلیل و بررسی این جزئیات را بالا ببرد. این روش اجازه می‌دهد تمامی سطح ساختار مورد نظر را همچون بخش داخلی آن بدون آسیب مدل‌سازی کرد. بدین ترتیب، مطالعه عملکرد بخشهای باقی مانده و از بین رفته در طول فرآیند‌ها میسر می‌شود (Hutton, 2004).

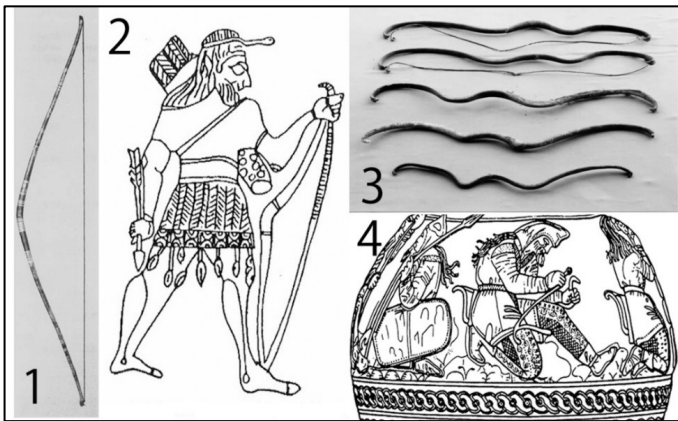
اجزاء یا عناصر مجموعه‌ای را تشکیل می‌دهند که از معادلات جبر خطی تبعیت می‌کنند و به صورت معادلات ماتریکسی نشان داده می‌شوند. این مجموعه عناصر در هر راس به یکدیگر متصل هستند که این اتصالات را گره (Nodes) می‌خوانند. گره‌ها ساختار را به مدلی شبکه‌ای مبدل می‌کنند که با عنوان مش (Mesh) شناخت می‌شود. حال با داشتن مش که قابلیت تعریف هرگونه خواص ساختاری و موادی را دارد، می‌توان تغییر حالت مدل در مواجهه با انواع فشار را مشخص کرد (Richmond, 2005).

از همان زمان معرفی و گسترش اولیه خود این روش در مطالعات متنوعی مورد استفاده قرار گرفته است. از بایو مکانیک (مطالعه ساختار مکانیکی استخوان، پوست، عضلات و ارگانهای دیگر موجودات) گرفته جامدات و سیالات، با این حال در حوزه‌ی باستان‌شناسی کاربرد اجزاء محدود در حال رشد است. مدل کردن خواص مکانیکی سفال‌ها (Hein, 2008; Kilikoglou, 2002)، فرآیند تغییرات محوطه‌ها و آثار غرق شده (O'Shea, 2002; Gibbs, 2006) و همچنین در حوزه‌ی حفاظت و مرمت (Lubowiecka, 2009; Levy, 2009) شاهد بکارگیری آن هستیم.

۲-۲. شرایط آزمون و ابزارهای جنگی

آزمون پیش رو به گونه‌ای طراحی شده است که نتایج، قابل استناد به مرحله‌ی درگیری نزدیک در نبردها باشند؛ تیرها با دو انرژی جنبشی و سرعت اولیه متفاوت که براساس محاسبات و شواهد برای آنها تعریف شده‌اند از فواصل فرضی ۷/۵، ۱۵ و ۳۰ پرتاب و به دو زره اصابت می‌کنند. از لحظه‌ی برخورد سرپیکان‌ها به زره‌ها تا توقف حرکتشان به عنوان بازه‌ی زمانی شبیه‌سازی در نظر گرفته شده است. از این رو تنها ورودی در ارتباط با کمان، انرژی جنبشی و سرعت اولیه است و انتخاب کمان زاویه‌دار^۲ و کمان B

شکل^۳ هم سو با اعتبارشان در میان شواهد باستان‌شناسی دوره مورد بحث (Zutterman, 2003) و پیشینه‌ی مطالعاتی قابل توجه آنهاست؛ براساس پژوهش‌ها، انرژی جنبشی اولیه‌ای که کمان زاویه دار با طول تقریبی ۱۵۰ cm ایجاد می‌کند مقداری در حدود ۴۰/۹ J می‌باشد (Bergman, 1988)^۴، این مقدار برای کمان B شکل^۵ مقداری بین ۱۸ J تا ۳۶ است (Blyth, 1977) (شکل ۱).



شکل ۱. کمان‌های انتخاب شده برای شبیه‌سازی: ۱. کمان زاویه دار بازسازی شده توسط برگمان (Bergman et al, 1988). ۲. نقش کماندار با کمان زاویه دار حکاکی شده بر جام طلای حسنلو (Winter, 1989). ۳. کمان‌های B شکل بدست آمده از گورستان یانقایی در چین (Selby, 2005). ۴. کماندار سکایی در حال به زه کردن کمان B شکل حکاکی شده بر ظرف طلایی کول اوبا (Roll, 1989)

Figure 1. Selected bows for simulation: 1- angular bow reconstructed by Bergman et al, 2- Archer depicted holding an angular bow on a Hasanlu gold bowl, 3- B-shaped bows found in Yanghai cemetery in China, 4- Scythian archer loading his B-shaped bow with an arrow depicted on the gold Kul oba bowl.

انتخاب سرپیکان‌ها به نوعی بوده تا در حد امکان هم از لحاظ پیوستگی گاهنگاری و گونه‌شناسی به‌عنوان نماینده‌ی نمونه‌های مشابه خود تلقی شود و هم کمیت آنها در بافت‌های مختلفی چون، اسلحه‌خانه‌ها، انبارها، محاصره‌ی قلعه‌ها، میدان نبرد و تدفین به گونه‌ای شود تا بتوان نتایج آزمون را تعمیم بخشید. ویژگی‌های هندسی نوک پرتابه همچون فرم و مساحت مقطع و همچنین زاویه‌ای که تیغه یا لبه‌ها با یکدیگر می‌سازند معیار اصلی انتخاب نمونه‌ها در نظر گرفته شده است؛ بر این اساس ۴ گونه‌ی هرمی (Tanged Pyramidal) یا بادکین زبلنه‌دار (Bodkin Arrowhead) (B)، دو لبه‌ی زبلنه‌دار با تیغه‌ی برگ‌ی شکل (Tanged Bilobate Arrowhead) (L) (with leaf shape blade)، دو لبه‌ی زبلنه‌دار با تیغه‌ی لوزی شکل (Tanged Bilobate Arrowhead with rhombus blade) (R) و سه پره‌ی سوکتی (Socketed) Trilobate Arrowhead (T) جهت آزمون در نظر گرفته شدند. سرپیکان B و L از کاوش سال ۱۳۹۵ مربوط به تدفین عصر آهن II (اواخر هزاره دوم و اوایل هزاره اول پ.م) (ده پهلوان، ۱۳۹۵) و سرپیکان T نیز از کاوش سال ۱۳۹۶ از تدفینی مربوط به اواخر عصر آهن III (قرن ۷ و اوایل قرن ۶ پ.م) (ده پهلوان، ۱۳۹۸) توسط هیئت

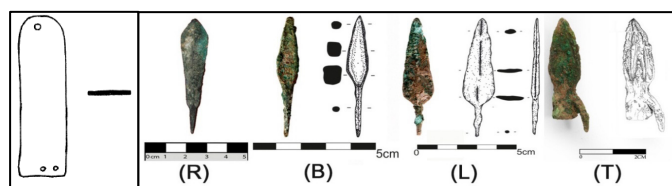
باستان‌شناسی دانشگاه تهران در دشت قزوین با سرپرستی مصطفی ده پهلوان از قره تپه سگزآباد بدست آمده‌اند. سرپیکان R از میان یافته‌های مربوط به کاوش سال ۱۹۵۷ اریخ اشمیت در خزانه تخت جمشید (Schmidt, 1957) انتخاب شده که هم اکنون در موزهی تخت جمشید نگه داری می‌شود.^۶

برای سنجش تأثیرگذاری سرپیکان‌ها به سراغ دو زره پولکی (Scale Armor) (S.A) و کتانی (Linen Armor) (L.A) رفتیم که در دوره مورد بحث تقریباً به عنوان پوشش‌های حفاظتی رایج در گستره خاور نزدیک باستان شناخته شده و به کار گرفته می‌شدند. گونه شناسی و گاه نگاری مختصری از جنگ افزارهای منتخب آزمون در ادامه ارائه شده است. تصاویر، ابعاد و جرم دقیق نمونه‌های مورد آزمایش را می‌توانید در شکل (۲) و جدول (۱) مشاهده کنید.

جدول ۱. ابعاد و وزن نمونه های مورد آزمایش.

Table 1. Dimensions and weight of the tested samples.

ضخامت	عرض	طول (mm)	جرم (g)	داده
1.3	33	121.4	-	پولک برنزی
18	-	53	7	(B)7040
5	15	75	10	(L)7059
-	9.5	3.3	4.5	(T)1226
13 x 5.5		62	8.8	(R)2379



شکل ۲. نمونه‌های مورد آزمایش: B. زبانه دار با تیغه‌ی هرمی شکل (بادکین) (Dehpahlavan, 1395). L. زبانه‌دار دویله با تیغه‌ی برگی شکل (ibid) T. سه پره‌ی سوکتی با خار روی سوکت (Dehpahlavan, 1398). R. زبانه‌دار دو لبه با تیغه‌ی لوزی شکل (Stronach, 1958). S.A. نمونه پولک برنزی از زره پولکی

Figure 2. Tested arrowheads: (B). Tipped with pyramidal blade (Badkin), (L). Double-edged, tipped with the leaf-shaped blade, (T). Trilobate socket with thorns on the socket (R). Tipped with two edges with rhombic blade form (Source: Authors) and a bronze scale plate of the scale armor (S.A).

۲-۲-۱. بادکین (B)

سرپیکانی با نوک تیز ولی فاقد لبه‌های برنده که براساس شواهد باستان‌شناسی در مقاطع مربعی، مثلثی و دایره‌ای شکل دیده می‌شود؛ شاید بتوان قدمت بادکین با مقطع چهارگوش را طبق آثار بدست آمده از بغازکوی

(Boğazköy) (Boehmer, 1972) و نوروزتپه (Norşuntepe) در حدود اواخر هزاره سوم و هزاره دوم پ.م در نظر گرفت (Schmidt, 2002) که به نظر می‌رسد از نیمه دوم هزاره دوم و آغاز هزار اول پ.م رواجشان بیشتر می‌شود (Moorey, 1971). نمونه‌های مدور و چهارگوش غالباً در کنار یکدیگر از اواخر هزاره‌ی دوم تا قرن ۶ پ.م در مناطق بسیاری چون لوانت^۷، بین النهرین^۸، ایران^۹ و آسیای صغیر^{۱۰} بدست آمده اند. طول نمونه‌ها اغلب در بازه‌ی ۱ تا ۱۰ cm قرار دارند.

۲-۲-۲. دو لبه‌ی زبانه‌دار با تیغه‌ی برگی شکل (L)

سرپیکان‌های برگی شکل و زبانه‌دار بدون شک فرم استاندارد این گونه جنگ‌افزارها از دوره برنز تا هزاره اول پ.م به حساب می‌آیند (Szudy, 2015). در فلات ایران، نمونه‌های اولیه و قدیمی سرپیکان فلزی از تپه حصار و طبقه ی C3 (اوایل هزاره‌ی دوم پ.م) کشف شده (Medvedskaya, 1982) که از فرم گونه مورد بحث است. شاید اصلی‌ترین دلیلی که این گونه را در این دوره زمانی تقریباً جهانی می‌سازد (البته تا قرن ۸ و ۷ پ.م، زمانی که گونه‌ی برنزی سوکتی در خاور نزدیک باستان ظهور می‌کند) سهولت ساخت آن است (Szudy, 2015). به علت رواج طولانی مدت این گونه در پهنه جغرافیایی وسیع به ندرت ویژگی‌های ظاهری آنها عناصر متنوعی را نشان می‌دهند و تفاوتها را بیشتر می‌توان در شکل شانه و برآمدگی میان تیغه آنها مشاهده نمود (ibid). بافت پیدایش اکثر این آثار تدفینی است^{۱۱} و طولشان اغلب به طور میانگین بین ۵ تا ۱۲ cm است.

۲-۲-۳. دو لبه‌ی زبانه‌دار با تیغه‌ی لوزی شکل (R)

این گونه سرپیکان زبانه‌دار و دارای برآمدگی میان تیغه تا نوک آن و مقطع دو پره و فرم تیغه به شکل لوزی با شانه‌های زاویه‌دار بلند است. ویژگی شاخص این گونه که باعث انتخاب آن نیز شده، فرم خاص نوک آن است که بر خلاف دیگر آثار، دارای نوکی پهن است که زاویه دو لبه تیغه آن نسبت به دیگر نمونه‌ها بیشتر می‌باشد (حدود ۷۰ درجه). شواهد باستان‌شناسی این گونه در بازه‌ی اواخر هزاره دوم پ.م و اوایل هزاره اول اغلب از محوطه‌های هَما (Hama)، ال خادر (El Khader) و تَلْ أَجُول (Tell Adjul) در لوانت بدست آمده‌اند (Medvedskaya, 1982). نمونه‌های مشابه آن را می‌توان در میان گورآوردهای گورستان ب سیلک (Ghrishman, 1375) و محوطه‌های پشتکوه لرستان، دروند ب، چال اسد، گل خان مرده، سرخ دم و مجموعه‌ی سرپیکان‌های کتیبه‌دار بابلی و البته بدون بافت که به گفته اورلت تیغه آنها معروف به نوک شمعی است، مشاهده نمود که در گاهنگاری عصر آهن II و III قرار می‌گیرند (Overlaet, 2003). با شروع قرن ۶ پ.م این گونه همچنان به حیات خود ادامه داده و در لایه‌های هخامنشی محوطه‌هایی در ایران^{۱۲}، مصر^{۱۳}، آسیای صغیر^{۱۴}، لوانت^{۱۵} و یونان^{۱۶} پیدا شده است. متأسفانه به علت کمبود مستندنگاری



شکل ۴. نمونه سرپیکان زابوتین (Hellmuth, 2014)

Figure 4. Zabolot Arrowhead

۲-۲-۵. دسته‌ی تیر

جرم دسته‌ی چوبی نیز به عنوان بخش مهمی از ساختمان تیر در آزمون مدنظر بوده است. در خصوص این آثار به علت جنس زوال‌پذیر آنها شواهد باستان‌شناسی چندانی در دسترس نیست. اما با این حال می‌توان به نمونه‌های بدست آمده از مقبره‌های مصری استناد کرد؛ این آثار از دوره‌های مختلف تاریخی بدست آمده‌اند و در موزه‌های آشمولین و پیت ریورز دانشگاه آکسفورد نگه داری می‌شوند. جنس اغلب این آثار از نی بوده و دارای قطر ۶/۸ تا ۷/۹ mm است. جرم این اشیاء عددی بین ۱۰ g تا ۱۲/۵ را نشان می‌دهند (Blyth, 1977).

۲-۲-۶. زره پولکی

رواج زره پولکی را می‌توان تقریباً از شروع نیمه دوم هزاره دوم پ.م با توجه به شواهد باستان‌شناسی بدست آمده از منطقه خاور نزدیک مشاهده نمود^{۱۸}.

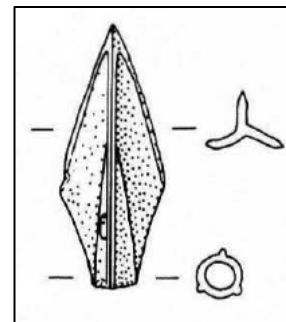
نمونه‌ی زره پولکی در نظر گرفته شده جهت شبیه‌سازی براساس بررسی نمونه‌های بدست آمده از کاوش باستان‌شناسی محوطه‌های نیمه نخست هزاره اول پ.م که بیشترین کمیت را در داده‌های مادی از این نوع دارند انتخاب شده است^{۱۹}. این آثار با ابعاد گوناگونی از کاوشهای باستان‌شناسی بدست آمده‌اند که احتمالاً برای پوشش بخش‌های متفاوتی از بدن مورد استفاده قرار می‌گرفتند. آثار کشف شده در ناحیه خاور نزدیک از میانه‌ی هزاره دوم تا حدود پایان قرن ۷ پ.م، اغلب پولک‌هایی با طولی بین ۲۴ تا ۹۰ mm و عرض بین ۲۲ تا ۳۰ mm هستند و شکل آنها یا چهارگوش است یا در یک سو مدور و در سوی دیگر زاویه‌دار با ضخامتی در حدود ۰/۶ تا ۱/۳ mm (Stronach 1958; Hulit, 2002; Muscarella 1988). این پولک‌ها به وسیله سوراخ‌هایی که بر روی آنها وجود داشت، روی پوششی از جنس چرم یا پارچه دوخته می‌شدند (Stronach 1958; E. V. Cernenko, 1983; Dezső, 2002; Hulit, 2002). بر این اساس برای ضخامت پولک مقدار میانگین، یعنی ۱/۲ mm^{۲۰} و لایه‌های دوخته

مناسب در گزارشات نمی‌توانیم از ابعاد این گونه مطمئن باشیم ولی براساس نمونه‌های تخت جمشید و سارد احتمالاً طول این سرپیکان‌ها کمتر از ۸۰ mm بوده است.

۲-۲-۴. سه پره سوکتی (T)

گونه‌ی مورد بحث ما در قسمت انتهایی تیغه خود بر روی سوکت دارای خاری است که نوک آن به سمت مخالف نوک سرپیکان بوده و در امتداد یکی از پره‌ها یا لبه‌های سرپیکان قرار دارد. این نمونه خارها هیچگاه بر روی سوکت‌های کوتاه یا نمونه‌های سوکت مخفی دیده نمی‌شوند. (شکل ۳) این گونه سرپیکان‌های خاردار معمولاً دارای دو نوع تیغه سه پره و دو پره هستند و در بسیاری از بافت‌ها (تدفین، محاصره و اسلحه خانه) در کنار هم دیده می‌شوند. البته نمونه‌های دو پره‌ی سوکتی دارای قدمت بیشتری هستند؛ نمونه‌های تاریخ گذاری شده از کورگان ارژن در سیبری، تاریخ اواخر قرن ۹ پ.م و نمونه‌های قدیمی‌تر، از اواخر دوره‌ی آندرونوو (Andronovo) (میان ۲ تا اواخر هزاره ی ۲ پ.م) در بخش مرکزی استپ‌های اوراسیا دیده می‌شوند (Cleuziou, 1973; Brentjes, 1996).

در محوطه‌های کیمری، اواخر دوره‌ی زابوتین و فاز نخست دوره‌ی کیرمیس ما شاهد حضور گسترده‌ی انواع دو تیغه‌های لوزی شکل سوکتی هستیم (شکل ۴)، اما نمونه‌های سه پره برای نخستین بار از اواخر دوره‌ی کیرمیس (میان‌ه‌ی قرن ۸ پ.م) (Hellmuth, 2014; Alekseev, 2003) تقریباً هم زمان با گزارش منابع آشوری از حضور اقوام سکایی در خاور نزدیک، ابتدا در منطقه‌ی ماوراء قفقاز (Transcaucasia) و بعد از آن از در آسیای صغیر و مناطق جنوبی قفقاز دیده می‌شوند. (Ivanchik, 1997) رواج گونه‌ی سوکتی خاردار طبق شواهد تا پایان قرن ۷ پ.م و آغاز شاهنشاهی هخامنشی در غرب آسیا مشاهده شده^{۱۷} و پس از آن جای خود را به نمونه‌های سه پره سوکتی می‌دهد که اغلب به شکل سوکت مخفی هستند (Hellmuth, 1973; 2014). محبوبیت این گونه سوکت مخفی در دوران هلنی نیز ادامه داشته (Cleuziou, 1973; Stronach, 1978) و توسط اقوام و ملت‌های بسیاری به کار گرفته می‌شود. ابعاد اکثر این سرپیکان‌ها در بازه ی ۲۰ تا ۳۵ mm قرار می‌گیرند.

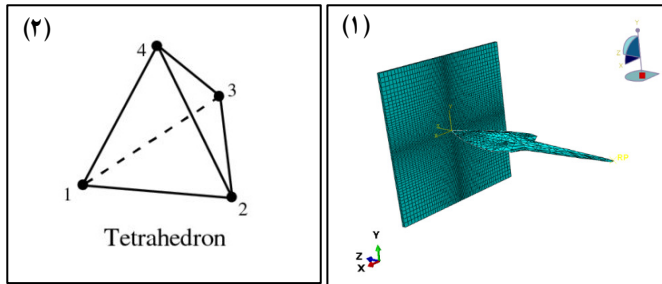


شکل ۳. نمونه سرپیکان با سوکت مخفی (Baitinger, 2001)

Figure 3. Arrowhead with inner socket

جنس برنز مطابق شواهد به سرپیکان‌ها نسبت داده شد. به دلیل اینکه سرپیکان نسبت به ابعاد پولک کوچکتر بوده است و شکل کلی پولک فقط زمان محاسبات را افزایش می‌داد و تأثیری در نتیجه نداشت، فقط بخش مورد اصابت طراحی و در شبیه‌سازی مورد استفاده قرار گرفته است.

خواص صدمه، الاستیکی و پلاستیکی مواد موجود در شبیه‌سازی که شامل برنز، چرم و کتان بودند وارد نرم‌افزار و به مدل مش‌های ساخته شده نسبت داده شدند. دسته‌ی تمام سرپیکان‌ها از جنس چوب بوده که با جرم ۱۰ گرم با ایجاد یک (Reference-Point)، به سرپیکان نسبت داده شده است. برای هر تیر چهار نوع مدل‌سازی انجام گرفته که دوتای آنها حاصل پرتاب تیر از کمان زاویه دار به زره پولکی (A.B-S.A) و کتانی (A.B-L.A) و باقی حاصل پرتاب تیر از کمان B شکل به اهداف می‌باشد (B.B-S.A; B.B-L.A).



شکل ۵. ۱. نمونه‌ی مش بندی شده ی فرآیند برخورد در نرم افزار Abaqus. ۲. یک جزء یا مش گونه‌ی چهاروجهی هرمی شکل (C3D4).

Figure 5. Right. The element of the pyramidal quadrilateral type (C3D4), Left. The sample of the mesh-free model of the impact process in Abaqus software.

جدول ۲. تعداد اجزاء استفاده شده در شبیه سازی نمونه ها.

Table 2. The number of elements used in the simulation of the samples.

زره	(B) 7040	(R) 2379	(L) 7059	(T) 1226	جسم
3025	5456	9808	1121	5282	تعداد اجزاء

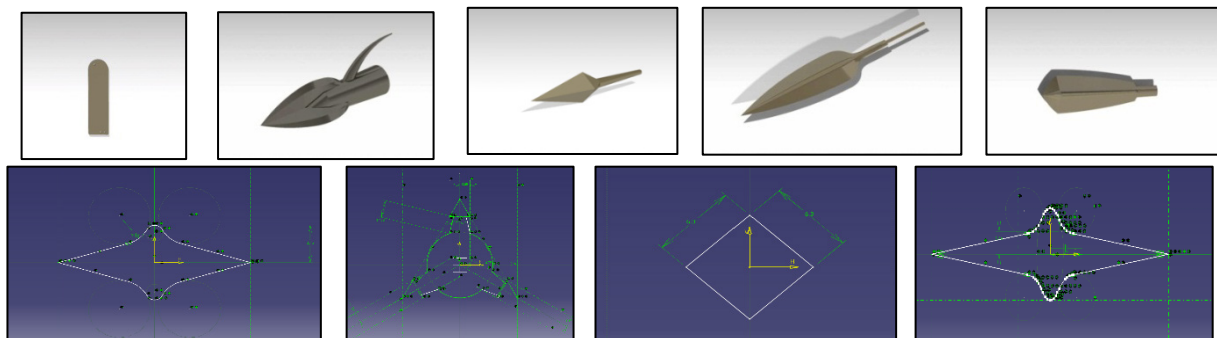
شده زیر پولک نیز ۱۰ mm در نظر گرفته شد. در مجموع ضخامت زره پولکی شبیه‌سازی شده ۱۱/۲ mm می‌باشد.

۲-۲-۷. زره کتانی

گونه‌ی دوم زره که تقریباً از نیمه‌ی دوم هزاره‌ی اول پ.م رواج پیدا می‌کند، زره پارچه‌ای یا کتانی نام دارد. این نوع در یافته‌های باستان‌شناسی خاور نزدیک چندان بازتابی نداشته و تنها رد پای آن را در اسناد نوشتاری و نقش‌های روی سفال یونانی و رومی می‌توان یافت؛ واژه‌ای که نویسندگان یونانی برای ارجاع به انواع زره‌ها مورد استفاده قرار می‌دادند ترکیبی از تُرکس (Thorax) به معنای سینه بود؛ ولی در اصطلاح به زره‌های بالا تنه (Corselet) اطلاق می‌شد (Aldrete et al, 2013). واژه‌ی لینوثراکس (Linothorax) یا زره بالا تنه‌ی کتانی در آثار نویسندگان یونانی و رومی از قرن ۹ و ۸ پ.م تا اواخر هزاره‌ی نخست پ.م به چشم می‌خورد. اما در غیاب شواهد مادی از این زره بهترین منابع جهت شناخت آن نقاشی سفالهای آتیک است که طرح زره کتانی مجموعاً حدود ۹۱۳ بار در میان آنها به نقش درآمده است. بازه‌ی گاهنگاری این آثار از حدود ۶۰۰ پ.م آغاز و تا قرن نخست میلادی ادامه پیدا می‌کند^{۲۱}. نمونه‌ی زره کتانی در نظر گرفته شده جهت شبیه‌سازی براساس الگو و روش انجام شده توسط آلدتره (Aldrete et al, 2013) از ۲۰ لایه کتان به ضخامت ۱۲ mm تشکیل شده است.

۲-۳. مدل‌سازی

طراحی اولیه سرپیکان‌ها ابتدا در محیط (Sketch) در نرم‌افزار (CATIA) صورت گرفت. بعد از اتمام این مرحله، تمامی اشکال طراحی شده وارد نرم‌افزار (ABAQUS) شدند. با توجه به هندسه و توپُر بودن نمونه‌ها، روش مش‌بندی آزاد و گونه‌ی چهاروجهی هرمی شکل (C3D4) از اجزاء‌های خانواده‌ی (Tet) برای رسیدن به نتایج مفیدتر استفاده شد. (شکل ۵ و ۶) (جدول ۲)



شکل ۶. نما و مقاطع سرپیکان‌های شبیه سازی شده در نرم افزار Abaqus. ۱. R ۲. T ۳. B ۴. L ۵. پولک برنزی زره

Figure 6. View and sections of arrowheads simulated in Abaqus software. 1. R 2. B 4. L 5. Bronze scale armor

۲-۴. مقاومت هوا و انرژی جنبشی برخورد

مشخص است در هر دو رابطه جرم و هندسه‌ی سرپیکان به واسطه‌ی میزان (K) عواملی موثر در مقدار مقاومت هوا و انرژی جنبشی نهایی به حساب می‌آیند؛ براساس مطالعات انجام شده با بهره‌گیری از تونل باد^{۳۳} و آزمایش پرتاب^{۳۴}، فاکتور پسی تیرهای مدرن بین کمینه‌ی 3.8×10^{-5} و بیشینه‌ی $10^{-5} \times 16$ قرار می‌گیرند. چون جرم و ابعاد تیرهای انتخاب شده از نمونه‌های امروزی کمتر است، مقدار کمینه برای K مناسب‌تر به نظر می‌رسد. ثابت استاندارد اتمسفر یا همان (A) نیز 1.69×10^{-4} تعریف شده است (Ibid). با احتساب این مقادیر و جرم تیرها ضریب بالستیکی تقریباً بین 0.077 تا 0.15 قرار می‌گیرد که بسیار ناچیز بوده و طبق جدول ارائه شده از سوی رینگان و هیچمن (۱۹۴۸) (Rheingans, Hickman) در مسافت‌های انتخابی (۷/۵، ۱۵ و ۳۰) تغییری بسیار اندک در میزان سرعت و انرژی جنبشی تیر می‌دهد که می‌توان از مقاومت یا اصطکاک هوا چشم پوشی کرد. البته تحلیل براساس ضریب بالستیکی همان‌گونه که بیان شد تقریبی است و برای دستیابی به مقدار دقیق باید از رابطه‌ی U یا انرژی ثانویه یا نهایی بهره برد که برای هر تیر محاسبه شده و مقادیر آن در جداول (۳ و ۴) آمده است. براساس این اطلاعات میانگین انرژی جنبشی و سرعت نهایی تیرها در سه مسافت تعیین شده برای لحظه‌ی برخورد در نظر گرفته شده است.

جدول ۳. میانگین سرعت و انرژی جنبشی برخورد نمونه‌ها پرتاب شده از کمان زاویه‌دار در پس از طی فواصل تعیین شده.

Table 3. The average velocity and kinetic energy of the collision of the samples thrown from the angular arc after the specified distances.

نوع تیر	جرم (g)	انرژی جنبشی اولیه (J)	سرعت اولیه (M/S)	انرژی/سرعت در نقطه ۷.۵ m	انرژی/سرعت در نقطه ۱۵ m	انرژی/سرعت در نقطه ۳۰ m	میانگین سرعت در مسافت ۳۰ m	میانگین انرژی در مسافت ۳۰ m
B	17	40	68.5	37.4-66.4	35.8-64.9	34.4-63.7	65	35.8
T	14.5	40	74.2	38-72.5	36.2-70.7	33.5-74.2	70	35.9
R	18.8	40	65.2	38.5-64	36.9-62.7	35.5-65.2	63.7	36.9
L	20	40	63.2	38.5-62.1	37.2-61	36-63.2	61	37.2
							میانگین 64.5	36.4

جدول ۴. میانگین سرعت و انرژی جنبشی برخورد نمونه‌ها پرتاب شده از کمان B شکل در پس از طی فواصل تعیین شده.

Table 4. The average velocity and kinetic energy of the collision of the samples thrown from the B-shaped arc after the specified distances.

جرم (g)	انرژی جنبشی اولیه (J)	سرعت اولیه (m/s)	انرژی/سرعت در نقطه ۷.۵ m	انرژی/سرعت در نقطه ۱۵ m	انرژی/سرعت در نقطه ۳۰ m	میانگین سرعت در مسافت ۳۰ m	میانگین انرژی در مسافت ۳۰ m	
B	17	30	59.4	58.2-28.7	56.9-27.5	55.7-26.3	56	27.5
T	14.5	30	64.3	62.7-28.5	61.2-27.1	59.7-25.8	61	27.1
R	18.8	30	56.4	55.4-28.8	54.2-27.6	53.3-26.7	54.3	27.7
L	20	30	54.7	53.6-28.7	52.7-27.7	52.1-27.1	52.8	28.7
						میانگین 56	27.5	

جدول ۵. نتایج و مقدار زمان شبیه سازی برای هر سرپیکان

Table 5. Results and simulation time for each arrowhead

مقدار نفوذ/زمان شبیه سازی		سرپیکان 7040 (B)		سرپیکان 2389 (R)		گونه کمان/زره
سرپیکان 1226 (T)	سرپیکان 7059 (L)	سرپیکان 7040 (B)	سرپیکان 2389 (R)	سرپیکان 2389 (R)	سرپیکان 1226 (T)	کمان زاویه دار- زره پولکی
462 دقیقه	12.67 mm	453 دقیقه	22.79 mm	355 دقیقه	14.5 mm	کمان زاویه دار- زره کتانی
350 دقیقه	17.4 mm	عبور کامل	283 دقیقه	331 دقیقه	عبور کامل	کمان سکایی- زره پولکی
355 دقیقه	12.66 mm	10.83 mm	479 دقیقه	350 دقیقه	9.52 mm	کمان سکایی- زره کتانی
232 دقیقه	12.1 mm	عبور کامل	230 دقیقه	345 دقیقه	عبور کامل	

۳. بحث

۳-۱. نتایج شبیه سازی

مجموعاً ۱۶ حالت متفاوت در نرم افزار شبیه سازی شد که میانگین کل زمان شبیه سازی برای نمونه ی R ۳۴۵/۲، نمونه B ۳۶۱/۲، نمونه L ۳۳۳/۵ و نمونه T ۳۴۹/۷ دقیقه به طول انجامید. نتایج اصلی شبیه سازی به صورت تغییر مکان نوک سرپیکان بروی سطح دو زره در جدول (۵) قابل مشاهده است. نمودار تنش فون مایزس و میزان تخریب هر سرپیکان به همراه فیلم های تهیه شده از ۱۶ حالت شبیه سازی برای اطلاعات بیشتر به صورت فایل مجزاء به مقاله پیوست شده است.

۳-۲. اثربخشی و عملکرد سرپیکان ها

ارزیابی اثربخشی و بازده سرپیکان در روند برخورد، فرآیند پیچیده ای است که معمولاً شامل پدیده هایی چون تغییر شکل الاستیک (Elastic) و پلاستیکی (Plastic)، مسدودشدگی (Plugging) (Borvik et al, 2001)، گلبرگی شدن (Petalling) (Landkof & Goldsmith, 1999; Wierzbicki 1999) و سوراخ سازی (Perforation) (Dean et al, 2009).

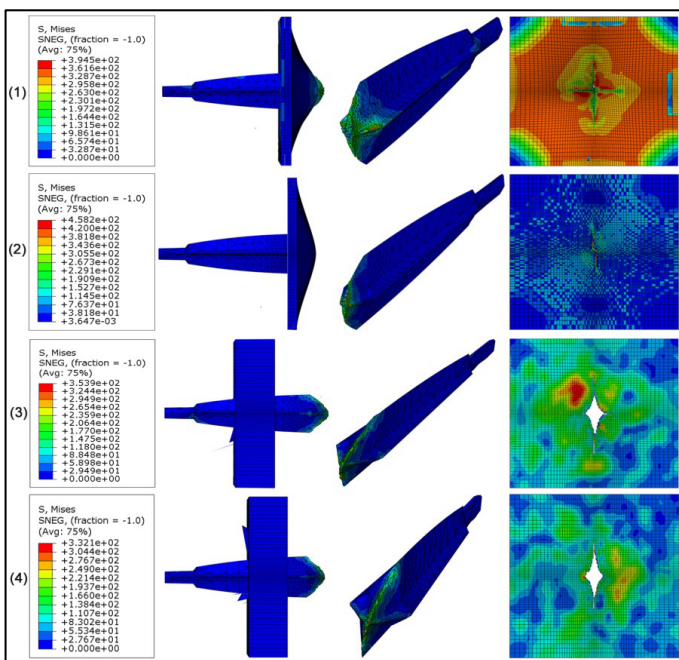
اولین مرحله، تغییر شکل صفحه زره است که در حالت های الاستیک و پلاستیکی^{۲۵} ظاهر می شود. این تغییر شکل رابطه مستقیمی با میزان تنش و کرنش مواد تشکیل دهنده زره دارد و بوسیله معیار تسلیم تنش فون مایزس و فرمول شکل پذیر جانشون و کوک تعریف می شود (Johnson & Cook, 1985). براساس نمودارهای تنش فون مایزس (تصاویر ۱۰-۷) و نتایج حاصله، هر دو زره مورد آزمون از مرحله تغییر شکل الاستیک گذر کرده و به مرحله پلاستیک رسیدند. این وضعیت برای تمامی سرپیکان ها به استثناء مدل B در شرایط A.B-L.A و B.B-L.A و مدل L در شرایط A.B-L.A نیز رخ داده است. بیشترین سطح تغییر شکل پلاستیک در حالت A.B-S.A دیده شد که مقدار آن برای زره ۱۴/۵ mm و تحمل تنشی بیش از ۳/۹۴۵e+۰۲ (شکل ۷) حاصل ضربه مدل R، و برای سرپیکان، خمش بیش از ۱۳ mm نوک مدل L با تحمل تنشی در حدود ۲/۰۲۰e+۰۵ mpa است (شکل ۹).

مرحله دوم شکست است که در حالات مسدود شدگی، گلبرگی شدن و سوراخ سازی پدیدار می شود. معیار آن توسط معادله فون مایزس و شاخص آسیب جانشون-کوک به صورت $D = \sum \frac{\Delta \epsilon_{pl}}{\epsilon_{f,pl}}$ تعریف شده است. در این رابطه $\Delta \epsilon_{pl}$ نشان دهنده رشد کرنش پلاستیکی ذخیره شده و $\epsilon_{f,pl}$ مقدار کرنش پلاستیک منجر به شکست است. شکست زمانی رخ می دهد که $D \geq 1$ باشد (Johnson & Cook, 1985; Dean et al 2009)، هنگامی که این شرط در یک عنصر (اجزاء جسم شبیه سازی شده) برآورده شد از مش حذف می شود. براساس تصاویر ارائه شده از فرآیند برخورد، مدل T بیشترین آسیب/شکست در ضربه را با مواجهه بیش از ۴/۱۵۹e+۰۲ mpa تنش و

از دست دادن نوک خود نشان داده (شکل ۱۰)، همچنین تنها مدل R در وضعیت B.B-S.A حالت شکست را برای هدف خود ایجاد نکرده است (شکل ۷(۲)). با این حال، نوک پیکان های R، L و T در انجام فرآیند سوراخ سازی یا ایجاد تهدید برای زره پولکی موفق نبودند. از طرف دیگر زره کتانای به حد خود رسیده (۳/۳۲۱e+۰۲ - ۵/۰۱۲e+۰۴) و در برابر تمامی سرپیکان ها شکست و سوراخ شدگی را تجربه کرده است.

چرا مدل B موفق به انجام فرآیند سوراخ سازی روی زره پولکی شد، اما مدل های دیگر خیر؟ چگونه زره کتانای نتوانست در برابر نفوذ مقاومت کند؟ اینها سوالات اصلی این بخش هستند.

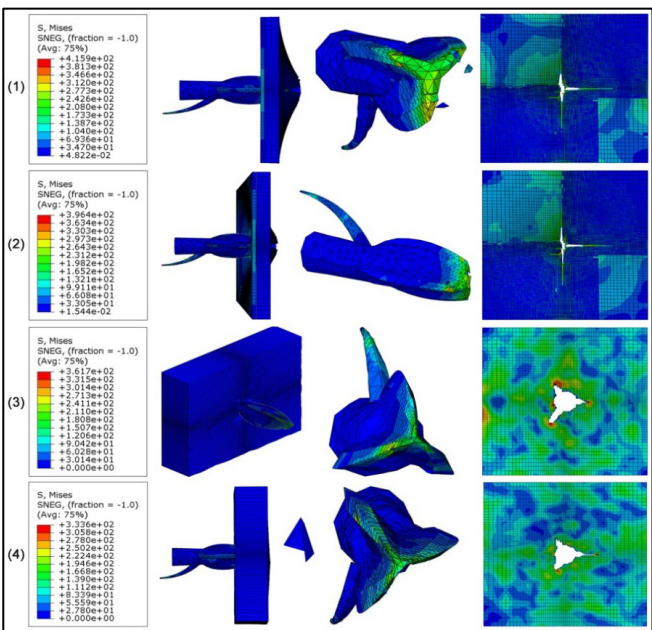
کار سوراخ سازی در صفحات نازک همچون زره ها فرمول یا رابطه خاصی ندارد و در مطالعات انجام شده در این زمینه تنها سعی شده سرعت و معیار آن پیش بینی شود. ولی تقریباً همه این پیش بینی ها روی سه پارامتر اصلی مؤثر بر حد بالستیکی، انرژی جذب شده یا افت سرعت، ویژگی های هندسی نوک پرتابه و خواص مکانیکی و ضخامت هدف تأکید دارند، (Gupta et al., 2006; Tan et al., 2003; Borvik et al., 2002; Forrestal et al., 1990; Anderson & Bodner, 1988; Corran et al., 1983; Dean et al., 2009)



شکل ۷. نمودار تنش مدل R در برخورد: ۱. حالت A.B-S.A، ۲. حالت B.B-L.A، ۳. حالت A.B-L.A، ۴. حالت B.B-L.A

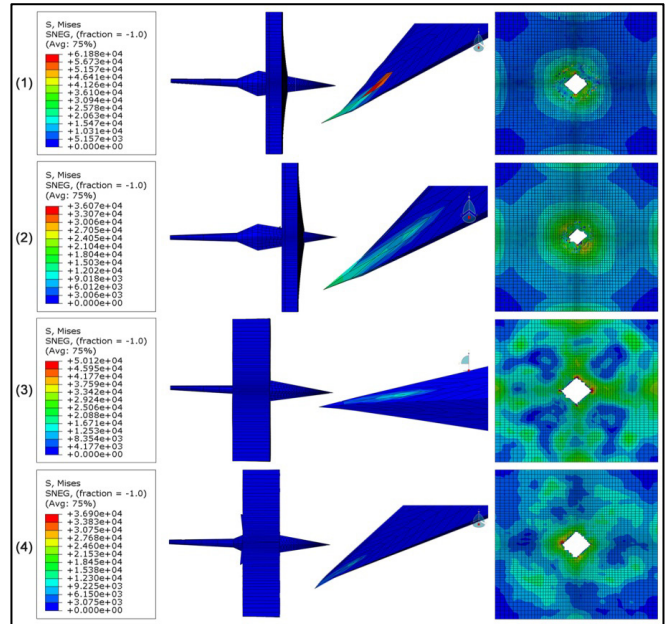
Figure 7. The stress charts of model R at the impact in: (1) A.B-S.A state, (2) B.B-L.A state, (3) A.B-L.A state, (4) B.B-L.A state

وضوح نشان گر گذر از تغییر شکل الاستیک به پلاستیک در فرآیند برخورد تمامی نمونه است (اشکال ۱۱ و ۱۲). مدل های T، L و R در زمان کوتاه تری نسبت به نمونه B به بیشینه جابجایی می رسند و بعد از آن روند خلاف جهت یا نزولی را به ثبت رساندند. از سوی دیگر مدل L از همان ابتدای فرآیند مقدار منفی یا خلاف جهت را نشان می دهد که با مقایسه منحنی با تصاویر برخورد پرتابه، می توان تغییر شکل پلاستیک نوک آن را مشاهده کرد، البته نیروی وارده در این مورد باعث تغییر شکل زره نیز شده است (شکل ۹ (۱-۲)). حرکت منحنی های جابجایی نوک پرتابه ها در برخورد با زره کتانای نیز روندی مشابه را نشان می دهد، با این تفاوت که تمامی مدل ها جابجایی مثبت را ثبت کردن (اشکال ۱۳ و ۱۴). در وضعیت های A.B-S.A و B.B-S.A در حالی که مدل های R، T و L هیچ سوراخ سازی را ثبت نکرده اند، انرژی جذب شده زره تقریباً برابر با انرژی اولیه برخورد در نظر گرفته می شود. در حالات دیگر که سوراخ سازی رخ نداده، برای دستیابی به درک بهتر از رفتار نوک پیکان، محدوده جابجایی آن در هنگام برخورد به عنوان معیار محاسبه انرژی جذب شده در نظر گرفته شده است. مقادیر انرژی جذب شده چهار مدل در حالات A.B-L.A و B.B-L.A در بازه ی صفر تا 3×10^{-3} ثانیه محاسبه شده اند. منحنی جابجایی - زمان مدل ها در اشکال (۱۱ تا ۱۴) و مقادیر آن در جدول ۶ قابل مشاهده هستند. براساس جدول، زره پولکی میانگین $90/8\%$ انرژی جذب شده را در بیشینه $78/5\%$ در کمینه سرعت اولیه به ثبت رسانده، در حالی که زره کتانای مقادیر $32/105\%$ و 35% را در شرایط مشابه ثبت کرده است.



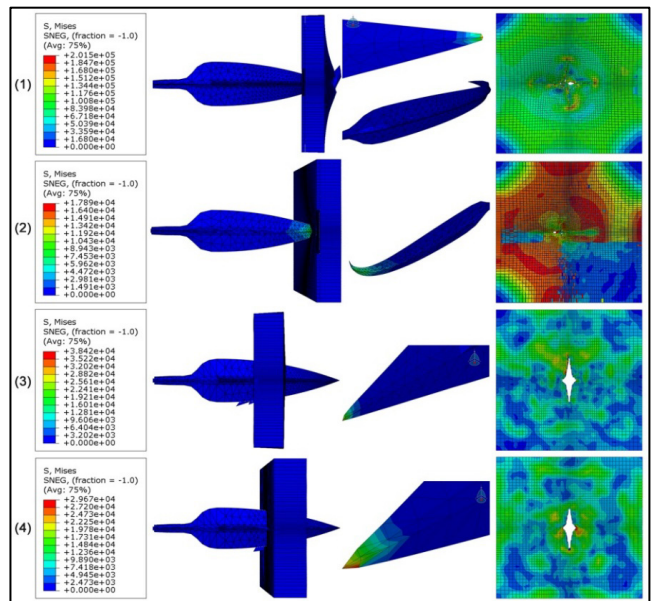
شکل ۱۰. نمودار تنش مدل T در برخورد: ۱. حالت A.B-S.A، ۲. حالت B.B-S.A، ۳. حالت A.B-L.A، ۴. حالت B.B-L.A

Figure 10. The stress charts of model T at the impact in (1) A.B-S.A state, (2) B.B-S.A state, (3) A.B-L.A state, (4) B.B-L.A state



شکل ۸. نمودار تنش مدل B در برخورد: ۱. حالت A.B-S.A، ۲. حالت B.B-S.A، ۳. حالت A.B-L.A، ۴. حالت B.B-L.A

Figure 8. The stress charts of Model B at the impact in: (1) A.B-S.A state, (2) B.B-S.A state, (3) A.B-L.A state, (4) B.B-L.A state.

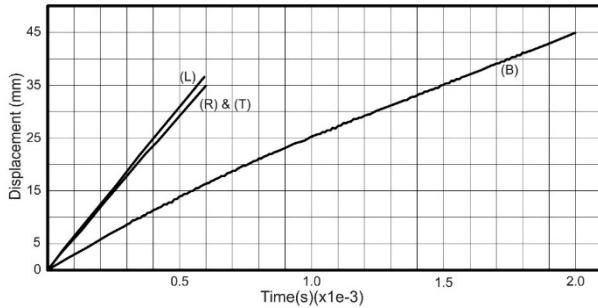


شکل ۹. نمودار تنش مدل L در برخورد: ۱. حالت A.B-S.A، ۲. حالت B.B-S.A، ۳. حالت A.B-L.A، ۴. حالت B.B-L.A

Figure 9. The stress charts of model L at the impact in (1) A.B-S.A state, (2) B.B-S.A state, (3) A.B-L.A state, (4) B.B-L.A state.

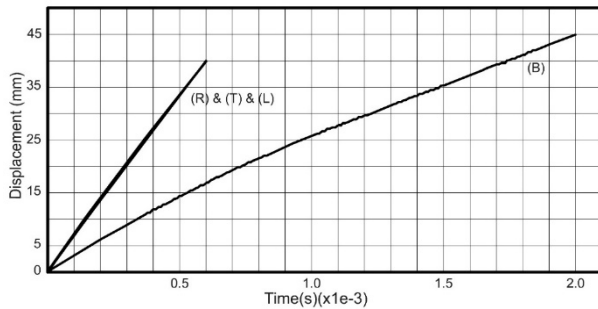
انرژی جذب شده توسط زره از رابطه ی $E_{absorbed} = \frac{1}{2} m (V_{impact}^2 - V_{drop}^2)$ یا میانگین بین سرعت اولیه برخورد V_{impact} و کمترین سرعت برخورد که باعث سوراخ سازی کامل هدف شده V_{drop} محاسبه می شود (m جرم پرتابه است). حرکت منحنی نوک سرپیکان ها روی صفحه ی زره پولکی که در بازه ی انرژی های جنبشی نسبت داده شده به

Anderson & Bodner 1988 ;Awerbuch & Bodner, 1974) یا تغییر قطر پرتابه در محدوده برخورد (Gupta et al, ;Ravid & Bodner, 1983) ;Corran et al 1983 2006 ;Borvik et al, 2002) و زاویه تیغه‌ها در نوک سرپیکان (Thomson, 1955; Zaid and Paul. 1957) دارد.



شکل ۱۳. جابجایی - زمان مدل‌ها در حالت A.B - L.A

Figure 13. The displacement-time curves of models on: A.B-L.A state.



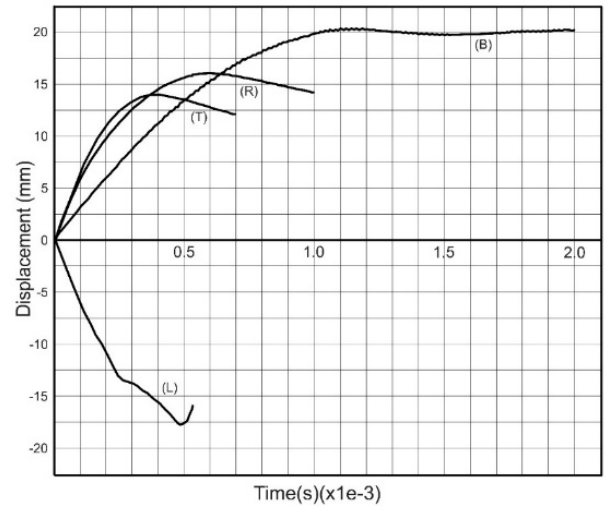
شکل ۱۴. جابجایی - زمان مدل‌ها در حالت B.B - L.A

Figure 14. The displacement-time curves of models on: B.B-L.A state.

جدول ۶. مقادیر محاسبه شده سرعت و انرژی جذب شده مدل‌ها

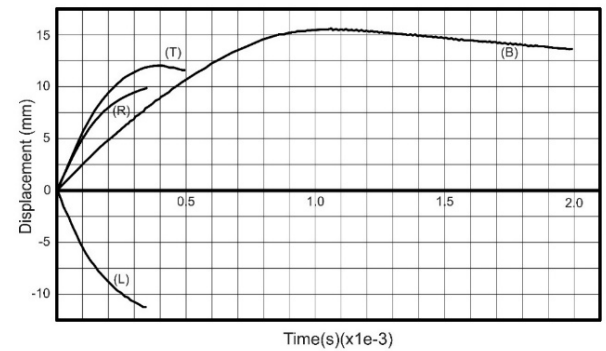
Table 6. The calculated amounts of velocity and energy absorbed of models

	$v_i(M/s)$	v_r	v_{bl}	$E_a(J)$
R_{AB-SA}	63.7	25.8 - 14.1	37.9 - 49.6	30.7 - 35.1
B_{AB-SA}	65	20.6 - 11.3	44.4 - 53.7	32.2 - 34.77
L_{AB-SA}	61	37.2 - 29.2	23.8 - 31.8	23.4 - 28.7
T_{AB-SA}	70	35 - 17.1	35 - 52.9	27.1 - 33.8
R_{BB-SA}	54.3	28.5	25.8	20.1
B_{BB-SA}	56	16.09 - 8	39.91 - 48	25.3 - 27
L_{BB-SA}	52.8	32.8	20	18
T_{BB-SA}	61	35 - 27	26 - 34	18.3 - 21.9
R_{AB-LA}	63.7	58.3	5.4	5
B_{AB-LA}	65	29.1	35.9	28.7
L_{AB-LA}	61	60	1	1.2
T_{AB-LA}	70	58.3	11.7	11.3
R_{BB-LA}	54.3	50	4.3	4.2
B_{BB-LA}	56	28.3	27.7	20.7
L_{BB-LA}	52.8	50	2.8	3.5
T_{BB-LA}	61	48.3	12.7	10.2



شکل ۱۱. جابجایی - زمان مدل‌ها در حالت A.B - S.A

Figure 11. The displacement-time curves of models on: A.B-S.A state.



شکل ۱۲. جابجایی - زمان مدل‌ها در حالت B.B - S.A

Figure 12. The displacement-time curves of models on: B.B-S.A state.

در مقابل زره پولکی، مدل L با بالاترین انرژی جنبشی کمترین سطح انرژی جذب شده را ثبت کرد و از میان سه مدل دیگر با وجود داشتن تقریباً همان سطح جذب انرژی، تنها مدل B فرآیند سوراخ‌سازی را انجام داده است. در برابر زره کتان‌ی مدل L عملکرد مشابهی دارد. اما نکته قابل توجه این است که با وجود ثبت سوراخ‌سازی توسط تمامی سرپیکان‌ها سطح انرژی جذب شده‌ی مدل B بسیار بیشتر از بقیه است. طبق آمار با افزایش سرعت اولیه شاهد افزایش سرعت حد بالستیکی و کاهش میزان تغییر شکل در زره پولکی هستیم. این در حالی است که در سرعت‌های بالا (همچون سرعت گلوله بین ۱۲۰-۳۷۰ m/s پیامدها کاملاً برعکس اتفاق می‌افتند Dean Forrestal et al, 1993 Tan et al, 2003; ; Gupta et al, 2006) (et al, 2009).

دلیل رخ دادن یا ندادن سوراخ‌سازی با بررسی ویژگی‌های هندسی پرتابه‌ها بیشتر روشن خواهد شد (جدول ۷ و شکل ۱۱). در اکثر معادلات، تغییر انرژی جذب شده توسط زره رابطه مستقیمی با سطح مقطع لحظه‌ای

جدول ۷. ویژگی‌های هندسی مدل‌ها

Table 7. Geometrical properties of models

Model مدل	Maximum cross sectional area (mm^2) بیشینه مقطع مساحت	A.B-S.A & B.B-S.A States		A.B-L.A & B.B-L.A States	
		In action c.s area (mm^2) مقطع درگیر در برخورد	Tip length involved (mm) طول نوک درگیر در برخورد	In action c.s area (mm) مقطع درگیر در برخورد	Tip length involved (mm) طول نوک درگیر در برخورد
R	≤ 35.9	≤ 13.5	4	$\leq 35.9-8.7$	35
B	39.6	1.12-30.5	22.5	16.8	17.5
L	≤ 40.2	≤ 2.7	13	≤ 4.9	35
T	≤ 38.3	≤ 19.1	9	≤ 28.2	30

چون سنگ تراشی‌های کاخ‌های آشوری^{۲۶} و نقاشی‌های رو سفال آتیک^{۲۷} می‌توان تشخیص داد که سربازان پوششی را زیر زره به تن می‌کردند، اگر از این شواهد نیز صرف‌نظر کنیم باز هم سرباز نیازمند پوششی بوده تا از عرق کردن و چسبندگی زره به پوست جلوگیری نماید. احتمالاً ضخامت این پوشش نازک بوده است. برای این لایه ۱ mm تا ۳ mm را در نظر گرفته شده. آخرین لایه‌ای که تیر باید به آن نفوذ کند تا منجر به صدمه گردد پوست بدن انسان است. براساس پژوهش بلیتمن و دیئت (Bleetman & Dyet) ضخامت پوست و همچنین فاصله آن با ارگان‌های مهم بدن چون طحال، کبد، کلیه و شش‌ها مقدار ثابتی نیست، در این پژوهش مقدار کمینه‌ی میانگین ۱۶ mm و بیشینه آن را ۳۱ mm ارائه می‌دهد که به ترتیب برای طحال و کلیه راست در نظر گرفته شده است (Bleetman & Dyer, 2000). حال اگر مقدار کمینه را در نظر بگیریم با احتساب ضخامت ۱۱/۲ mm زره پولکی و ۱۲ mm زره کتانی، در مجموع دست کم تیر در بهترین حالت ۲۸/۲ mm از سطح زره پولکی و ۲۹ mm^{۲۹} از سطح زره کتانی عبور کرده تا منجر به آسیب جدی گردد. تنها نمونه‌ای که در برخورد با زره پولکی به میانگین نزدیک می‌شود نمونه B با ۲۲/۷۹ mm نفوذ است. البته نباید فراموش کرد که ورود سرپیکان به ۱۶ mm پوست بدن خونریزی و درد را در پی خواهد داشت. (Bleetman & Dyer, 2000) از این رو تغییر شکل پلاستیکی زره پولکی به هنگام برخورد سه نمونه دیگر در حالت بیشینه با میانگین ۱۳/۴ mm احتمالاً می‌توانسته درد شدیدی را برای سرباز به همراه داشته باشد. اما زره کتانی را یا ثبت میانگین ۴۰/۱ mm نفوذ، نمی‌توان پوششی مناسب در جهت جلوگیری از صدمات جدی و مرگبار به حساب آورد. بدین ترتیب زره پولکی برای جلوگیری از صدمات جدی و مرگبار گزینه مناسبی به نظر می‌رسد.

۴. جمع بندی و نتیجه گیری

شاید بهتر باشد در این بخش نتایج بدست آمده را با کمیت آثار انتخاب شده در میان شواهد باستان‌شناسی مورد ارزیابی قرار دهیم. همانطور که نتایج نشان دادند سرپیکان گونه‌ی B در آزمایش ما بهترین عملکرد را نسبت به سه گونه‌ی دیگر به نمایش گذاشت. حال در شرایطی که می‌توان هندسه سرپیکان را عاملی مهم در بهبود بازده به حساب آورد، چقدر این عامل

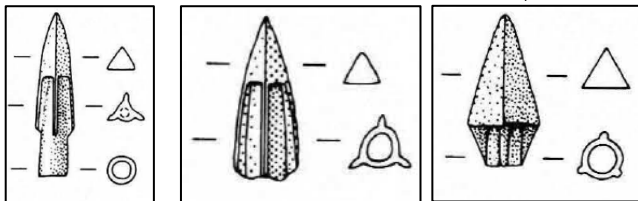
همانطور که بالا بودن ابعاد می‌تواند باعث کاهش تأثیرگذاری شود، پایین بودن بیش از اندازه آن نیز می‌تواند اثر منفی داشته باشد. مدل L به دلیل کوچک بودن سطح مقطع برخورد، کمترین انرژی جذب شده را در چهار حالت ثبت کرد. شکل‌های (۹ و ۱۱) کوچک بودن ناحیه درگیر این مدل و تغییر شکل نوک آن در برخورد با زره پولکی را نشان می‌دهد. مدل‌های R و T تقریباً به همان میزان انرژی جذب شده در برخورد با زره پولکی را دارند، اما عواملی مانند درگیری بیشینه سطح مقطع در ناحیه برخورد و بالا بودن زاویه تیغه‌ها در نوک، تأثیرگذاری سرپیکان را در سوراخ‌سازی تضعیف کرده است. حاصل درگیر شدن حدود ۴ mm از نوک مدل R در مقابل حدود ۹ mm از مدل T، تنها تغییر شکل پلاستیکی زره است، در حالی که با همان سطح انرژی جذب شده توسط مدل T، نه تنها تغییر شکل پلاستیکی رخ داده بلکه باعث آسیب بیشتر و شکست زره شده است. تفاوت واضح در سطح مقطع درگیر در ۰.۳ s - ۰.۶ e می‌تواند تفاوت جذب انرژی این دو مدل توسط زره کتانی را توضیح دهد. مدل B مطابق جدول ۷ در مقابل زره کتانی به دلیل درگیر شدن طول بیشتری از تیغه آن و افزایش سطح مقطع درگیر در طول فرآیند، بیشترین میزان جذب انرژی را به خود اختصاص داده، این روند افزایشی در خصوص زره پولکی مانع از عبور کامل زره شده است.

بدین ترتیب طبق شواهد و نتایج، بین اهداف، زره کتانی با وجود ضخامت بیشتر، هدف آسان‌تری نسبت به رقیب خود با بیش از ۳۵ mm مساحت سوراخ برای هر سرپیکان است. مدل B در بین سرپیکان‌ها با ویژگی‌های هندسی مناسب، بهترین عملکرد را با ثبت سوراخ‌سازی در هر چهار حالت از خود نشان داد. بنابراین می‌توان نتیجه گرفت که با شرایط در نظر گرفته شده در شبیه‌سازی، تأثیرگذارترین عوامل در اثربخشی و بازده پرتابه‌ها در فرآیند برخورد، ویژگی‌های هندسی آنها و خواص مکانیکی زره می‌باشد.

۳-۳. عمق نفوذ و صدمه‌ی مرگبار

در شرایطی ضربه‌ی وارده از تیر باعث صدمه‌ی جدی و یا مرگ می‌شود که تیر از چهار لایه، زره، تغییر شکل زره، لباس یا پوشش زیر زره و در نهایت پوست گذر کند. در خصوص پوشش زیر زره براساس مدارک تصویری

T, R, L در آزمون لزوماً بیانگر این نیست که آنها سلاح‌هایی نا مرغوب بوده‌اند، بلکه تنها بی‌تأثیر بودن آنها در مقابل اهداف زرهی را نشان می‌دهد و همچنین می‌دانیم که تمامی اهداف زره پوش نبوده و مطمئناً از تیرها در جهت از پا در آوردن سربازان سبک اسلحه و شکار نیز استفاده می‌شده است. اگر آثار بدست آمده از بافت تدفینی و اسلحه خانه‌ها را بیشتر مرتبط با اهداف غیر جنگی فرض کنیم و نمونه‌های پیدا شده از بافت درگیری و لایه‌های تخریب شده‌ی استحکامات این دوره را مرتبط با جنگ، طبق جامعه آماری معرفی شده در بخش اول سهم اهداف غیر جنگی به جنگی چیزی در حدود ۶ به ۱۳ می‌باشد، آنگاه کمبود گونه B در بافت تدفینی تقریباً منطقی به نظر می‌رسد. اما دلیل کمبود آن در بین آثار بافت جنگی نسبت به دیگر گونه‌ها چیست؛ می‌توان اینگونه تحلیل کرد که کمیت پایین گونه B بیانگر این مهم است که در دوره‌ی مورد بحث کمانداران با اهداف زرهی سنگین مواجهه چندانی نداشته‌اند. اگر این فرضیه را در نظر بگیریم، بدین معناست که استفاده از زره‌های پولکی حداقل تا قبل از قرن ۶ پ.م در ارتش‌های خاور نزدیک چندان مرسوم نبوده و سهم نیروهای سبک اسلحه به مراتب بیشتر بوده است. این فرضیه چندان دور از ذهن و غیر منطقی به نظر نمی‌رسد زیرا هم تهیه‌ی ارتشی تمام زرهی بسیار هزینه بر بوده و هم کمیت آثار پیدا شده در ارتباط با زره آن را تأیید می‌کند.^{۳۶} از اواخر قرن ۶ پ.م به بعد روند برای دو گونه‌ی B و T به نوع دیگری ادامه پیدا می‌کند. شواهد نشان دهنده رواج گونه‌های جدیدی است که تلفیقی از نوک هرمی گونه‌ی B و مقطع سه گوش یا سه پره‌ی گونه T می‌باشد. این تغییر رفته رفته کامل تر شده و گونه‌ی بادکین سوکتی را خلق می‌کند (شکل ۱۲). البته رونق این گونه چه به صورت خاردار روی سوکت و چه بدون خار در مناطق شمالی دریای سیاه و استپ‌های اوراسیا از اواسط قرن ۷ پ.م شروع می‌شود. کمیت این گونه‌ی جدید از اواسط قرن ۶ پ.م افزایش پیدا کرده و به عنوان گونه‌ی استاندارد اقوام کوچگر استپ‌های شمال دریای سیاه تبدیل شده (Hellmuth, 2014; Cleuziou, 1977; Meliukova, 1964) و حضور آن در میان آثار هخامنشی و هلنی نیز دیده می‌شود^{۳۷} البته گونه‌ی B نیز حیات خود را در دوران روم باستان ادامه می‌دهد و به یکی از گونه‌های رایج این دوره تبدیل می‌شود (Szudy, 2015).



شکل ۱۲. نمونه سرپیکانه‌های سه پره‌ی سوکتی با نوک هرمی مربوط به قرن ۴-۵ پ.م اولمپیا (Baitinger, 2011)

Figure 12. Models of socketed Trilobate arrowhead with a pyramidal tip from the 4th-5th centuries BC

اجبرگرایی تکنولوژیکی) در زمان حیات و رونق این جنگ افزارها تاثیرگذار بوده است؟ پاسخ پیچیده و مشکل است زیرا شواهد باستان‌شناسی لزوماً بازگو کننده تمام واقعیات و حقایق نیستند ولی با این حال تنها روایانی هستند که در اختیار داریم؛ اگر به شواهد موجود استناد کنیم رابطه‌ی بین جبرگرایی و رونق نمونه‌ها تا اواخر قرن ۷ پ.م ناهمگون به نظر می‌رسد. نمونه‌های R, L و T با اینکه نسبت به نمونه‌ی B بازده ضعیف‌تری دارند ولی در میان شواهد باستان‌شناسی دارای کمیت بیشتری هستند. به طوری که نمونه‌های مشابه برنزی و آهنی گونه L در بسیاری از محوطه‌های خاور نزدیک باستان تا اواخر قرن ۷ پ.م (Medvedskaya, 1982; szudy, 2015) و نمونه‌های آهنی و سوکتی برنزی^{۳۸} آن در دوران هخامنشی (میان ۶ قرن پ.م تا میانه ی قرن ۴ پ.م) رواج دارند (Erdmann, 1977; Cleuziou, 1973) آثار پیدا شده خارج از محدوده‌ی فلات ایران اغلب در بافت غیر تدفینی و در ارتباط با دوران آشور نو دیده می‌شوند.^{۳۹} به این نکته باید اشاره داشت که از آغاز هزاره اول شاهد کاهش طول تیغه‌ی نمونه‌های مشابه گونه L هستیم (szudy, 2015)، در حالی که از میانه هزاره دوم تا هزاره نخست طول تیغه‌ها از نمونه مورد آزمایش ما نیز بیشتر (بین ۵ تا ۱۰ سانتیمتر) بوده است. این روند کاهش در طول را می‌توان هم سو با نتایج بدست آمده در نظر گرفت.

در مورد سرپیکان R و انواع مشابه آن که بیشتر در نواحی غربی بین النهرین و ولنت یافت شده‌اند، تغییر چندانی در کمیت آثار قبل و در طول هزاره اول پ.م مشاهده نمی‌شود^{۴۰}، تنها پراکندگی آنها در نیمه نخست هزاره اول به مناطق شرقی بین النهرین امتداد یافته و کمتر در بافت تدفینی دیده می‌شوند^{۴۱} (Medvedskaya, 1982). در مقوله تعداد، گونه R و نمونه‌های مشابه آن نسبت به گونه B دست بالا را دارند^{۴۲}، اما علی‌رغم رونق آن تا اواخر دوران هخامنشیان این نسبت در مقایسه با دو گونه T و L کمتر است. با توجه به بازده این سرپیکان در آزمون و موارد مطرح شده، باز شاهد عدم تطابق بین کیفیت و کمیت R و انواع مشابه آن هستیم.

گونه‌ی T و نمونه‌های مشابه آن که دارای خاری روی سوکت هستند عمری بیشتر از ۱۵۰ سال (تا اوایل قرن ۶ پ.م) نداشتند و این زائده خار مانند دیگر میان سرپیکان‌های معروف به سکایی در دوره‌های بعدی دیده نمی‌شود (Hellmuth, 2014; Cleuziou, 1977). این تغییر در طراحی را می‌توان تا اندازه‌ای با جبرگرایی هم سوی دانست، ولی کماکان سرپیکان‌های سه پره‌ی سوکتی در پهنه‌ی وسیعی از خاور نزدیک به حیات خود تا دوران روم باستان ادامه می‌دهند و از محبوبیشان کاسته نمی‌شود.^{۴۳}

حال که کمیت شواهد در راستای کیفیت و کارکرد مطرح شده قرار ندارد و سرپیکان‌های T, R, L را نمی‌توان گزینه مناسبی برای مقابله با ارتشی زرهی دانست، تنها این فرضیه به نظر می‌رسد که کیفیت پایین نمونه‌های

سپاسگزاری: در اینجا باید مراتب تشکر و قدردانی را از گروه مکانیک دانشگاه تهران بخصوص آقای دکتر علیرضا دانش مهر و دانشجویان ایشان داشته باشیم که فرآیند شبیه سازی را انجام داده و نویسندگان را در مراحل مختلف تحلیل داده ها کمک کردند.

مشارکت نویسندگان: تمامی نویسندگان در نگارش و اصلاح مقاله مشارکت داشته اند.

تضاد منافع: نویسندگان هیچگونه تضاد منافع را اعلام نمیکنند.

تامین مالی: هزینه های این پژوهش توسط نویسندگان تامین شده است.

دسترسی به داده ها و مواد: داده های خام پشتیبانی کننده نتایج این مقاله در صورت درخواست، توسط نویسندگان در دسترس قرار خواهد گرفت

پی نوشت

- جهت دسترسی به اطلاعات جامع در خصوص روش اجزاء محدود، بنگرید: "The Finite Element Method: Its Basis and Fundamentals" by O.C. Zienkiewicz and R.L. Taylor (doi: <https://doi.org/10.1016/C2009-0-24909-9>)
- "Introduction to Finite Element Analysis and Design" by Nam-Ho Kim and Bhavani V. Sankar. (<https://www.wiley.com/en-us/Introduction+to+Finite+Element+Analysis+and+Design%2C+2nd+Edition-p-9781119078739>)
- "Finite Element Analysis: Theory and Application with ANSYS" by Saeed Moaveni. (<https://dl.acm.org/doi/10.5555/520534>)
- (Angular or Triangular Bow) برای دسترسی به اطلاعات بیشتر در خصوص شواهد مادی از این کمان، بنگرید: (McLeod, 1970)؛ برای مطالعه بیشتر درباره ی شمائل نگاری کمان زاویه دار، بنگرید: (Wilkinson 1991; Zutterman, 2003; Szudy, 2015)
- برای مطالعه ی بیشتر در خصوص شواهد مادی این کمان، بنگرید: (Yamauchi, 1983; Brentjes,)
- شمائل نگاری، بنگرید: (Dan, 2013; Ivantchik, 1997)
- طبق آمار ارائه شده در پژوهش برگمن، انرژی اولیه کمان به تیرهای مختلف محاسبه و مقدار میانگین انتخاب شد.
- بلیث در پژوهش خویش میزان انرژی جنبشی تولید شده را با بهره گیری از محاسبات و مدل سازی ریاضی بدست آورد.
- به علت عدم دسترسی به نمونه های مشابه عصر آهنی جهت مستندنگاری دقیق، رونق این نمونه تا اواخر دوره ی هخامنشی و فرم خاص نوک این سرپیکان از نمونه ی هخامنشی جهت شبیه سازی استفاده شد. برای اطلاعات بیشتر به بخش (۴-۲) بنگرید.
- از لاجیش ۱ در بافت محاصره ی آشوریان قرن ۸ پ.م (Gottlieb, 2004) و گرار (۱ (تل جمه) ۶۰۰-۹۰۰ پ.م (Petrie, 1928 ; Macalister, 1912)
- از اوروک و آشور (کاخ شلمنصر سوم) (Szudy, 2015)
- از تدفین در مارلیک (Negahban 1996) و مریان اواخر هزاره دوم و اوایل هزاره ی اول پ.م (Khalatbari, 1385)، دیلمان (Egami.N et al, 1965)، تالش (De Morgan, 1905)، حسنلو مربوط به لایه های IIIB و IV (Thornton & Pigott, 2011)، سیلک گورستان الف و ب (اواخر هزاره دوم و اوایل هزار اول پ.م (Ghrishman, 1379)، خورویین (Vanden Berghe, 1964)، زیویه (Ghrishman, 1954)، و محوطه های پشتکوه لرستان عصر آهن III (Overlaet, 2003)
- از آیانیس میانه قرن ۸ پ.م تا اوایل قرن ۷ پ.م (Dem & Muscarella, 2001)، تیراک قله اوایل هزار اول پ.م (Wartke, 1990) و الیشار هویوک ۱ دوره ی هیتیت نو (Von der osten, 1937)
- در سیلک ب (Ghrishman, 1379)، مارلیک ۱۵۵۰ تا ۷۵۰ پ.م (Negahban, 1995)، محوطه های دوره ی آهن I و II پشتکوه لرستان (اواخر هزاره ی دوم و اوایل هزاره ی اول پ.م) (Overlaet,)

۱. جهت دسترسی به اطلاعات جامع در خصوص روش اجزاء محدود، بنگرید:

"The Finite Element Method: Its Basis and Fundamentals" by O.C. Zienkiewicz and R.L. Taylor (doi: <https://doi.org/10.1016/C2009-0-24909-9>)

"Introduction to Finite Element Analysis and Design" by Nam-Ho Kim and Bhavani V. Sankar. (<https://www.wiley.com/en-us/Introduction+to+Finite+Element+Analysis+and+Design%2C+2nd+Edition-p-9781119078739>)

"Finite Element Analysis: Theory and Application with ANSYS" by Saeed Moaveni. (<https://dl.acm.org/doi/10.5555/520534>)

(Angular or Triangular Bow) برای دسترسی به اطلاعات بیشتر در خصوص شواهد مادی از این کمان، بنگرید: (McLeod, 1970)؛ برای مطالعه بیشتر درباره ی شمائل نگاری کمان زاویه دار، بنگرید: (Wilkinson 1991; Zutterman, 2003; Szudy, 2015)

برای مطالعه ی بیشتر در خصوص شواهد مادی این کمان، بنگرید: (Yamauchi, 1983; Brentjes,)
شمائل نگاری، بنگرید: (Dan, 2013; Ivantchik, 1997)

طبق آمار ارائه شده در پژوهش برگمن، انرژی اولیه کمان به تیرهای مختلف محاسبه و مقدار میانگین انتخاب شد.

بلیث در پژوهش خویش میزان انرژی جنبشی تولید شده را با بهره گیری از محاسبات و مدل سازی ریاضی بدست آورد.

به علت عدم دسترسی به نمونه های مشابه عصر آهنی جهت مستندنگاری دقیق، رونق این نمونه تا اواخر دوره ی هخامنشی و فرم خاص نوک این سرپیکان از نمونه ی هخامنشی جهت شبیه سازی استفاده شد. برای اطلاعات بیشتر به بخش (۴-۲) بنگرید.

از لاجیش ۱ در بافت محاصره ی آشوریان قرن ۸ پ.م (Gottlieb, 2004) و گرار (۱ (تل جمه) ۶۰۰-۹۰۰ پ.م (Petrie, 1928 ; Macalister, 1912)

از اوروک و آشور (کاخ شلمنصر سوم) (Szudy, 2015)

از تدفین در مارلیک (Negahban 1996) و مریان اواخر هزاره دوم و اوایل هزاره ی اول پ.م (Khalatbari, 1385)، دیلمان (Egami.N et al, 1965)، تالش (De Morgan, 1905)، حسنلو مربوط به لایه های IIIB و IV (Thornton & Pigott, 2011)، سیلک گورستان الف و ب (اواخر هزاره دوم و اوایل هزار اول پ.م (Ghrishman, 1379)، خورویین (Vanden Berghe, 1964)، زیویه (Ghrishman, 1954)، و محوطه های پشتکوه لرستان عصر آهن III (Overlaet, 2003)

از آیانیس میانه قرن ۸ پ.م تا اوایل قرن ۷ پ.م (Dem & Muscarella, 2001)، تیراک قله اوایل هزار اول پ.م (Wartke, 1990) و الیشار هویوک ۱ دوره ی هیتیت نو (Von der osten, 1937)

در سیلک ب (Ghrishman, 1379)، مارلیک ۱۵۵۰ تا ۷۵۰ پ.م (Negahban, 1995)، محوطه های دوره ی آهن I و II پشتکوه لرستان (اواخر هزاره ی دوم و اوایل هزاره ی اول پ.م) (Overlaet,)

در نهایت سنگ تراشی های کاخ های آشوری با اینکه رواج این زره را به نمایش گذاشته اند ولی با این حال منابع نوشتاری در این دوره اشاره چندانی به زره و نیروهای زرهی ندارند (Dezso, 2012a: 100).
۳۷. برای مطالعه بیشتر، بنگرید: (Cleuziou, 1977; Erdmann, 1973)

References

- Aldrete, G. S., Bartell, S., & Aldrete, A. (2013). *Ancient linen body armor: Unraveling the linothorax mystery*. Johns Hopkins University Press.
<https://search.proquest.com/docview/2130991792/bookReader?accountid=45153>
- Alekseev, A. J. (2003). *Hronografija Evropejskoj Skifii VII-IV vekov do n.e.* Saint Petersburg.
- Anderson, C. E., & Bodner, S. R. (1988). Ballistic impact: The status of analytical and numerical modeling. *International Journal of Impact Engineering*, 7(1), 9-35. [https://doi.org/10.1016/0734-743X\(88\)90010-3](https://doi.org/10.1016/0734-743X(88)90010-3)
- Awerbuch, A., & Bodner, S. R. (1974). Analysis of the mechanics of perforation of projectiles in metallic plates. *International Journal of Solids and Structures*, 10, 671-684. [https://doi.org/10.1016/0020-7683\(74\)90050-X](https://doi.org/10.1016/0020-7683(74)90050-X)
- Baitinger, H. (2001). *Die Angriffswaffen aus Olympia* (Olympische Forschungen 29). Berlin/New York: Walter de Gruyter.
- Barron, A. E. (2010). *Late Assyrian arms and armour: Art versus artifact* (Doctoral dissertation). University of Toronto. <http://hdl.handle.net/1807/24677>
- Bergman, C., McEwen, E., & Miller, R. (1988). Experimental archery: Projectile velocities and comparison of bow performances. *Antiquity*, 62, 658-670. <https://doi.org/10.1017/S0003598X00075050>
- Bleetman, A., & Dyer, J. (2000). Ultrasound assessment of the vulnerability of the internal organs to stabbing: Determining safety standards for stab-resistant body armour. *Injury*, 31, 609-612. [https://doi.org/10.1016/S0020-1383\(00\)00061-9](https://doi.org/10.1016/S0020-1383(00)00061-9)
- Blyth, P. H. (1977). The effectiveness of Greek armour against arrows in the Persian War (490-479 BC): An interdisciplinary study [PhD Dissertation, University of Reading]. <https://ethos.bl.uk/OrderDetails.do?uin=uk.bl.ethos.450089>
- Boehmer, R. M. (1972). *Die Kleinfunde von Boğazköy, aus den Graubungskampagnen 1931-1939 und 1952-1969*. Berlin: Gebr. Mann Verlag.
- Borvik, T., Hopperstad, O. S., Berstad, T., & Langseth, M. (2001). Numerical simulation of plugging failure in ballistic penetration. *International Journal of Solids and Structures*, 38, 6241-6264. [https://doi.org/10.1016/S0020-7683\(00\)00343-7](https://doi.org/10.1016/S0020-7683(00)00343-7)
- Borvik, T., Langseth, M., Hopperstad, O. S., & Malo, K. A. (2002). Perforation of 12 mm thick steel plates by 20 mm diameter projectiles with flat, hemispherical, and conical noses, Part 1: Experimental study. *International Journal of Impact Engineering*, 27, 19-35. [https://doi.org/10.1016/S0734-743X\(01\)00034-3](https://doi.org/10.1016/S0734-743X(01)00034-3)
- Brentjes, B. (1995-1996). Waffen der Steppenvölker (II): Kompositbogen, Goryt und Pfeil – ein Waffenkomplex der Steppenvölker. *Archäologische Mitteilungen aus Iran*, 28, 179-210.
- Brentjes, B. (1995-1996). Waffen der Steppenvölker (II): Kompositbogen, Goryt und Pfeil – ein Waffenkomplex der Steppenvölker. *Archäologische Mitteilungen aus Iran*, 28, 179-210.
- Chernenko, E. V. (1981). *Scythian archers*. Scientific Thought.
- Cleuziou, S. (1973). Les pointes de flèches „scythiques“ au proche et moyen orient. In J. Deshayes (Ed.), *Le plateau iranien et l'Asie Centrale des origines à la conquête islamique. Leurs relations à la lumière des documents archéologiques* (pp. 187-199). Paris.
- Corran, R. S. J., Shadbolt, P. J., & Ruiz, C. (1983). Impact loading of plates - An experimental investigation. *International Journal of Impact Engineering*, 1(1), 3-22. [https://doi.org/10.1016/0734-743X\(83\)90010-6](https://doi.org/10.1016/0734-743X(83)90010-6)
- Curtis, J. (2003). The Assyrian heartland in the period 612-539 BC. In Lanfranchi et al. (Eds.), *Continuity of Empire(?): Assyria, Media, Persia* (pp. 157-167). Padua.
- Curtis, J., & Stronach, D. (1984). *Nush-i Jan III: The small finds*. British Institute of Persian Studies.
- Dan, A. (2013). The Black Sea as a Scythian bow. In M. Manoledakis (Ed.), *Exploring the Hospitable Sea: Proceedings of the International Workshop on the Black Sea in Antiquity* (pp. 39-58). <https://www.academia.edu/3751840>
- De Backer, F. (2012). Scale-armour in the Mediterranean area during the early Iron Age: A) From the IXth to the IIIrd century B.C. *Revue des études militaires anciennes (RÉMA)*, 5, 1-38. <https://www.academia.edu/6816233>
- De Morgan, J. M. (1905). *Histoire et travaux de la délégation en Perse du Ministère de l'instruction publique 1897-1905*. Paris: Leroux.
- Dean, J., Dunleavy, C. S., & Brown, P. M. (2009). Energy absorption during projectile perforation of thin steel plates and the kinetic energy of ejected fragments. *International Journal of Impact Engineering*, 36, 1250-1258. <https://doi.org/10.1016/j.ijimpeng.2009.05.002>
- Dehpahlavan, M. (1398). *Preliminary report of educational and research excavation of the Department of Archeology*. Tehran: University of Tehran. (Unpublished) (in Persian).
- Dehpahlavan, M. (2018). *Preliminary report of educational and research excavation of the Department of Archaeology*, University of Tehran. (Unpublished) (in Persian).
- Derin, Z., & Muscarella, O. W. (2001). Iron and bronze arrows. In Ç. Çilingiroğlu & S. Salvini (Eds.), *Ayanis I: Ten years' excavations at Rusainili Eiduru-Kai, 1989-1998 (Documenta Asiana 6)* (pp. 189-217). Istituto per gli Studi Micenei ed Egeo-Anatolici CNR.
- Dezso, D. (2012). *The Assyrian army, the structure of the Neo-Assyrian army as reconstructed from Assyrian palace reliefs and cuneiform sources (Vol. 1: Infantry)*. Budapest: Eötvös Loránd Press. <https://www.academia.edu/2195169>
- Dezso, T. (2002). Scale armour of the 2nd millennium B.C. In T. A. Bacs (Ed.), *A tribute to excellence: Studies offered in honor of Erno Gaal, Ulrich Luft, Laszlo Torok* (pp. 195-216). Budapest Studia: Aegyptiaca XVII. <https://www.academia.edu/19309982>
- Dyson, R. H. (1965). Hasanlu excavations, 1964. *Archaeology*, 19(2), 157-159.
- Dyson, R. H. (1965). Problems of protohistoric Iran as seen from Hasanlu. *Journal of Near Eastern Studies*, 24(3), 193-217. <https://www.jstor.org/stable/543123>
- Egami, N., Fukai, S., & Masuda, S. (1965). *Dailaman I: The excavations at Ghalekuti and Lasulkan, 1960*. Tokyo: Institute for Oriental Culture, University of Tokyo.
- English, P. L. (1930). Exterior ballistics of the arrow. *Journal of the Franklin Institute*, 805-819.
- Erdmann, E. (1973). Die sogenannten Marathonpfeilspitzen in Karlsruhe. *Archäologischer Anzeiger*, 88, 30-58.

- Forrestal, M. J., Luk, V. K., & Brar, N. S. (1990). Perforation of aluminum armor plates with conical-nose projectiles. *Mechanics of Materials*, 10, 97-105. [https://doi.org/10.1016/0167-6636\(90\)90020-G](https://doi.org/10.1016/0167-6636(90)90020-G)
- Ghirshman, R. (1954). *Village Perse-Achemenide*. Memoires de la Mission Archeologique en Iran (Vol. 36). Paris: Presses Universitaires de France.
- Ghrishman, R. (1379). *Sialk* (A. Karimi, Trans.). Tehran: Organization of Iranian Cultural Heritage Publications.
- Gibbs, M. (2006). Cultural site formation processes in maritime archaeology: Disaster response, salvage, and Muckelroy 30 years on. *International Journal of Nautical Archaeology*, 35(1), 4-19. <https://doi.org/10.1111/j.1095-9270.2006.00088.x>
- Gottlieb, Y. (2004). The weaponry of the Assyrian attack, section A: The arrowheads and selected aspects of the siege battle. In D. Ussishkin (Ed.), *The renewed archaeological excavations at Lachish (1973-1994), Vol. IV* (pp. 1907-1969). Tel Aviv: Emery and Claire Yass Publications in Archaeology. <https://www.academia.edu/36844576>
- Gupta, N. K., Iqbal, M. A., & Sekhon, G. S. (2006). Experimental and numerical studies on the behavior of thin aluminum plates subjected to impact by blunt- and hemispherical-nosed projectiles. *International Journal of Impact Engineering*, 32, 1921-1944. <https://doi.org/10.1016/j.ijimpeng.2005.06.007>
- Hardy, R. (1976). *Longbow: A social and military history*. Cambridge. <http://1.droppdf.com/files/wLXco/robert-hardy-longbow.pdf>
- Hein, A., Georgopoulou, V., Nodarou, E., & Kilikogiou, V. (2008). Koan amphorae from Halasarna – Investigations in a Hellenistic amphora production centre. *Journal of Archaeological Science*, 35(4), 1049-1061. <https://doi.org/10.1016/j.jas.2007.07.014>
- Hellmuth, A. (2008). The chronological setting of the so-called Cimmerian and early Scythian material from Anatolia. *Ancient Near Eastern Studies*, 45, 102-122. <https://doi.org/10.2143/ANES.45.0.2033166>
- Hellmuth, A. (2014). Horse, bow and arrow – A comparison between the Scythian impact on the Mediterranean and on Eastern Middle Europe. *Mediterranean Review*, 7(1), 1-38. <https://www.academia.edu/8148653>
- Hernandez, C. J., Loomis, D. A., Cotter, M. M., Schifle, A. L., Anderson, L. C., Elsmore, L., Kunos, C., & Latimer, B. (2009). Biomechanical allometry in hominoid thoracic vertebrae. *Journal of Human Evolution*, 56, 462-470. <https://doi.org/10.1016/j.jhevol.2008.12.007>
- Hulit, T. D. (2002). Late Bronze Age scale armour in the Near East: An experimental investigation of materials, construction, and effectiveness, with a consideration of socio-economic implications [PhD Dissertation, University of Durham]. <http://theses.dur.ac.uk/1006/>
- Hutton, D. (2004). *Fundamentals of finite element analysis*. New York: McGraw Hill. https://www.academia.edu/37959207/Fundamentals_of_finite_elements_David_V_Hutton
- Ivanchik, A. (1997). Das Problem der ethnischen Zugehörigkeit der Kimmerier und die kimmerische archäologische Kultur. *Prähistorische Zeitschrift*, 72, 12-53. <https://doi.org/10.1515/prhz.1997.72.1.12>
- Ivanchik, A. (2006). "Scythian" archers on archaic Attic vases: Problems of interpretation. *Ancient Civilizations from Scythia to Siberia*, 12, 196-271. <https://doi.org/10.1163/157005706779851408>
- Johnson, G. R., & Cook, W. H. (1985). Fracture characteristics of three metals subjected to various strains, strain rates, temperatures, and pressures. *Engineering Fracture Mechanics*, 21(1), 31-48. [https://doi.org/10.1016/0013-7944\(85\)90052-9](https://doi.org/10.1016/0013-7944(85)90052-9)
- Jones, M. R. (2009). *Deformation theory of plasticity*. Virginia: Bull Ridge Publishing.
- Karpowicz, A., & Selby, S. (2010). Scythian-style bows discovered in Xinjiang. *The Journal of the Society of Archer-Antiquaries*, 53. https://atarn.org/chinese/Yanghai/Scythian_bow_ATARN.pdf
- Khalatbari, M. R. (1383). *The archaeological excavations in Talesh ancient sites (Marian-Tandvin)*. Tehran: Organization of Iranian Cultural Heritage Publications.
- Kilikoglou, V., & Vekinis, G. (2002). Failure prediction and function determination of archaeological pottery by finite element analysis. *Journal of Archaeological Science*, 29(12), 1317-1325. <https://doi.org/10.1006/jasc.2001.0775>
- Knobel, E. B., Midgley, W. W., Milne, J. G., Murray, M. A., & Petrie, W. M. F. (1911). *Historical studies*. Publications of the British School of Archaeology in Egypt 19. London: School of Archaeology in Egypt. <http://www.etana.org/sites/default/files/coretexts/15113.pdf>
- Kroll, S. (1979). Die Kleinfunde. In W. Kleiss (Ed.), *Bastam I: Ausgrabungen in den urartäischen Anlagen, 1972-1975 (Teberaner Forschungen IV)* (pp. 151-182). Mann. <https://www.academia.edu/32130642>
- Kupczik, K. (2008). Virtual biomechanics: Basic concepts and technical aspects of finite element analysis in vertebrate morphology. *Journal of Anthropological Sciences*, 86, 193-198. https://www.researchgate.net/publication/40027812_Virtual_biomechanics_Basic_concepts_and_technical_aspects_of_finite_element_analysis_in Vertebrate_morphology
- Kupczik, K., Dobson, C. A., Crompton, R. H., Phillips, R., Oxnard, C. E., Fagan, M. J., & O'Higgins, P. (2009). Masticatory loading and bone adaptation in the supraorbital torus of developing macaques. *American Journal of Physical Anthropology*, 139(2), 193-203. <https://doi.org/10.1002/ajpa.20972>
- Landkof, B., & Goldsmith, W. (1985). Petalling of thin metallic plates during penetration by cylindro-conical projectiles. *International Journal of Solids and Structures*, 21(3), 245-266. [https://doi.org/10.1016/0020-7683\(85\)90021-6](https://doi.org/10.1016/0020-7683(85)90021-6)
- Levy, R. M., & Dawson, P. (2009). Using finite element methods to analyze ancient architecture: An example from the North American Arctic. *Journal of Archaeological Science*, 36(10), 2298-2307. <https://doi.org/10.1016/j.jas.2009.06.014>
- Lubowiecka, I., Armesto, J., Arias, P., & Lorenzo, H. (2009). Historic bridge modeling using laser scanning, ground penetrating radar and finite element methods in the context of structural dynamics. *Engineering Structures*, 31(11), 2667-2676. <https://doi.org/10.1016/j.engstruct.2009.06.018>
- Macalister, R. A. S. (1912). *The excavation of Gezer 1902-1905 and 1907-1909* (Vols. I-III). London. <http://www.etana.org/sites/default/files/coretexts/14872.pdf>
- McLeod, W. (1970). *Composite bows from the tomb of Tutankhamun*. Oxford University Press.
- Medvedskaya, I. N. (1982). *Iran: Iron Age I (BAR International Series 126)*. British Archaeological Reports.
- Moorey, P. R. S. (1971). *Catalogue of ancient Persian bronzes in the Ashmolean Museum*. Oxford: Clarendon Press.

- Muscarella, W. O. (1988). *Bronze and iron: Ancient Near Eastern artifacts in The Metropolitan Museum of Art*. New York: The Metropolitan Museum of Art. https://www.metmuseum.org/art/metpublications/Bronze_and_Iron_Ancient_Near_Eastern_Artifacts_in_The_Metropolitan_Museum_of_Art
- Negahban, E. O. (1996). *Marlik: The complete excavation report*. Philadelphia: University of Pennsylvania Press. <https://www.upenn.edu/pennpress/book/13684.html>
- O'Shea, J. M. (2002). The archaeology of scattered wreck-sites: Formation processes and shallow water archaeology in Western Lake Huron. *International Journal of Nautical Archaeology*, 31(2), 211-227. <https://doi.org/10.1006/ijna.2002.1044>
- Oates, D. (1961). The excavations at Nimrud (Kalhu), 1960. *Iraq*, 23(1), 1-14. <https://doi.org/10.2307/4199694>
- Overlaet, B. (2003). *The early Iron Age in Pusht-i Kub, Luristan* (K. A. Niknami & A. S. Mucheshi, Trans.). Tehran: SAMT.
- Petrie, W. M. F. (1888). *Tanis Part II: Nebesheb and Defenneb (Tabpanhes)*. London: The Egypt Exploration Fund. <https://doi.org/10.11588/diglit.3236>
- Petrie, W. M. F. (1909). *Memphis I*. Publications of the Egyptian Research Account 15. London: British School of Archaeology in Egypt. <https://doi.org/10.11588/diglit.3349>
- Petrie, W. M. F. (1928). *Gerar*. London: British School of Archaeology in Egypt. <http://etana.org/sites/default/files/coretexts/15143.pdf>
- Ravid, M., & Bodner, S. R. (1983). Dynamic perforation of viscoplastic plates by rigid projectiles. *International Journal of Engineering Science*, 21, 577-591. [https://doi.org/10.1016/0020-7225\(83\)90105-2](https://doi.org/10.1016/0020-7225(83)90105-2)
- Rey, F. E. (2010). Weapons, technological determinism, and ancient warfare. In G. Fagan & M. Trundle (Eds.), *New Perspectives on Ancient Warfare* (pp. 21-56). Brill. <https://doi.org/10.1163/ej.9789004185982.i-391.8>
- Rheingens. (1936). Exterior and interior ballistics of bows and arrows - Review. *Archery Review*.
- Richmond, B. G., Wright, B. W., Grosse, I., Dechow, P. C., Ross, C. F., Spencer, M. A., & Strait, D. S. (2005). Finite element analysis in functional morphology. *The Anatomical Record Part A: Discoveries in Molecular, Cellular, and Evolutionary Biology*, 283A(2), 259-274. <https://doi.org/10.1002/ar.a.20169>
- Robinson, D. M. (1941). *Excavations at Olynthus, Part X: Metal and minor miscellaneous finds, an original contribution to Greek life*. Baltimore: Johns Hopkins Press.
- Rodgers, P., & Moffett, D. (1935). The bow as a missile weapon. *Army Ordnance*. U.S. publication.
- Rolle, R. (1989). *The Scythian world* (F. G. Walls, Trans.). University of California Press.
- Schmidt, E. F. (1957). *Persepolis II: Contents of the Treasury and Other Discoveries*. Oriental Institute Publications 69. Chicago: University of Chicago Press. <https://oi.uchicago.edu/sites/oi.uchicago.edu/files/uploads/shared/docs/oip69.pdf>
- Schmidt, K. (2002). *Norsuntepe, Kleinfunde II: Artefakte aus Felsgestein, Knochen und Geweib, Ton, Metall und Glas (Archaeologica Euphratica 2)*. Mainz am Rhein: Verlag Philipp von Zabern. <http://digital.library.stonybrook.edu/cdm/ref/collection/am/id/66389>
- Selby, S. (2005). Drawings of the Yanghai bows. *ATARN.org*. <https://www.atarn.org/chinese/Yanghai/yanghai.htm>
- Starr, R. F. S. (1939). *Nuzi (Vol. I)*. Cambridge, MA: Harvard University Press.
- <http://digital.library.stonybrook.edu/cdm/ref/collection/am/id/47411>
- Stronach, D. (1958). Metal objects from the 1957 excavations at Nimrud. *Iraq*, 20, 169-181. <https://www.jstor.org/stable/4199639>
- Stronach, D. (1978). *Pasargadae: A report on the excavations conducted by the British Institute of Persian Studies from 1961 to 1963*. Oxford: Clarendon Press. <http://digital.library.stonybrook.edu/cdm/ref/collection/am/id/69438>
- Szudy, J. (2015). Archery equipment in the Neo-Assyrian period [PhD Dissertation, University of Wien]. <https://www.academia.edu/15611257>
- Tan, V. B. C., Lim, C. T., & Cheong, C. H. (2003). Perforation of high-strength fabric by projectiles of different geometry. *International Journal of Impact Engineering*, 28(2), 207-222. [https://doi.org/10.1016/S0734-743X\(02\)00055-6](https://doi.org/10.1016/S0734-743X(02)00055-6)
- Thomson, T. (1955). An approximate theory of armour penetration. *Journal of Applied Physics*, 26(1), 80-82. <https://doi.org/10.1063/1.1721868>
- Thornton, C. P., & Pigott, V. C. (2011). Blade-type weaponry of Hasanlu Period IVB. In M. de Schauensee (Ed.), *Peoples and Crafts in Period IVB at Hasanlu, Iran* (pp. 135-182). University of Pennsylvania Press. <https://www.upenn.edu/pennpress/book/14818.html>
- Tufnell, O. (1953). *Lachish III (Tell ed-Duweir): The Iron Age*. Oxford University Press.
- Ussishkin, D. (1982). *The conquest of Lachish by Sennacherib*. Tel Aviv: Tel Aviv University.
- Vanden Berghe, L. (1964). *La Nécropole de Khürvin*. Istanbul: Nederlands Historisch-Archaeologisch Instituut in Het Nabije Oosten.
- von der Osten, H. H. (1937). *The Alishar Hüyük seasons of 1930-1932, Part 2*. Chicago: University of Chicago Press. <https://oi.uchicago.edu/sites/oi.uchicago.edu/files/uploads/shared/docs/oip29.pdf>
- Waldbaum, J. C. (1983). *Metalwork from Sardis: The finds through 1974 (Sardis Monograph 8)*. Cambridge, MA: Harvard University Press. <http://digital.library.stonybrook.edu/cdm/ref/collection/am/id/31836>
- Wartke, R. B. (1990). *Toprakçale: Untersuchungen zu den Metallobjekten im Vorderasiatischen Museum zu Berlin*. Berlin: Akademie Verlag.
- Wierzbicki, T. (1999). Petalling of plates under explosive and impact loading. *International Journal of Impact Engineering*, 22, 935-954. [https://doi.org/10.1016/S0734-743X\(99\)00028-7](https://doi.org/10.1016/S0734-743X(99)00028-7)
- Wilkinson, H. R. (1991). The representation of the bow in the art of Egypt and the Ancient Near East. *Journal of the Ancient Near Eastern Society*, 20(1), 83-99. <https://janesscholarship.com/article/2366-the-representation-of-the-bow-in-the-art-of-egypt-and-the-ancient-near-east>
- Winter, I. J. (1989). The Hasanlu gold bowl: Thirty years later. *Expedition*, 31(2-3), 87-106.
- Woolley, C. L. (1921). *Carchemish, Part II: The town defences*. British Museum. <http://digital.library.stonybrook.edu/cdm/ref/collection/am/id/156870>
- Woolley, L. (1938). The excavations at Al Mina, Sueidia. *The Journal of Hellenic Studies*, 58(2), 133-170. <https://doi.org/10.2307/627300>

- Yamauchi, E. (1983). The Scythians: Invading hoards from the Russian steppes. *The Biblical Archaeologist*, 46(2), 90–99. <https://doi.org/10.2307/3209645>
- Zaid, A., & Paul, R. (1957). Mechanics of high speed projectile perforation. *Journal of the Franklin Institute*, 117-126. [https://doi.org/10.1016/0016-0032\(57\)90892-X](https://doi.org/10.1016/0016-0032(57)90892-X)
- Zutterman, C. (2003). The bow in the Ancient Near East: A re-evaluation of archery from the late 2nd Millennium to the end of the Achaemenid Empire. *Iranica Antiqua*, 38, 119–165. <https://doi.org/10.2143/IA.38.0.137>
- Мелюкова, А.И. (1964). Вооружение скифов. *САИ (Д1–4). Наука*. <https://www.archaeolog.ru/ru/el-bib/el-cat/el-series/svod-arch/sai-d1-4>

Jalili, S. & Dehpahlavan, M. (2025). Assessment of the Arrowhead Impact on Armor Using the Finite Element Method (FEM): A Case Study of Iron Age II and III Arrowheads from the Qareh Tepe Segzabad Cemetery. *Journal of research on Archaeometry*, 11(1), 11101. DOI: 10.61882/jra.2025.11.101